

IICA-CIIDA

Centro Interamericano de  
Documentación e  
Información Agrícola

H2  
28

METODO DE MUESTREO PARA EL RECONOCIMIENTO

02FEB 1987

DE LA ROYA EN EL SALVADOR

IICA — CIIDA

Gilberto Páez  
Luis F. Martínez

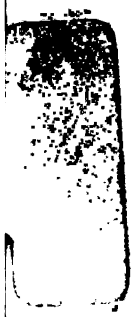


INSTITUTO INTERAMERICANO DE CIENCIAS AGRICOLAS DE LA OEA

Centro Tropical de Enseñanza e Investigación  
Unidad de Estadística y Computación Electrónica

Turrialba, Costa Rica

Abrial, 1971



**IICA-CIDIA**

Centro Interamericano de  
Documentación e  
Información Agrícola

02 FEB 1987

**IICA — CIDIA**

METODO DE MUESTREO PARA EL RECONOCIMIENTO

DE LA ROYA EN EL SALVADOR

Gilberto Páez

Luis Felipe Martínez

**INSTITUTO INTERAMERICANO DE CIENCIAS AGRICOLAS DE LA OEA**  
Centro Tropical de Enseñanza e Investigación  
Unidad de Estadística y Computación Electrónica

Turrialba — Costa Rica

Abril, 1971

00006955

1. 60006955  
2. 60006955  
3. 60006955

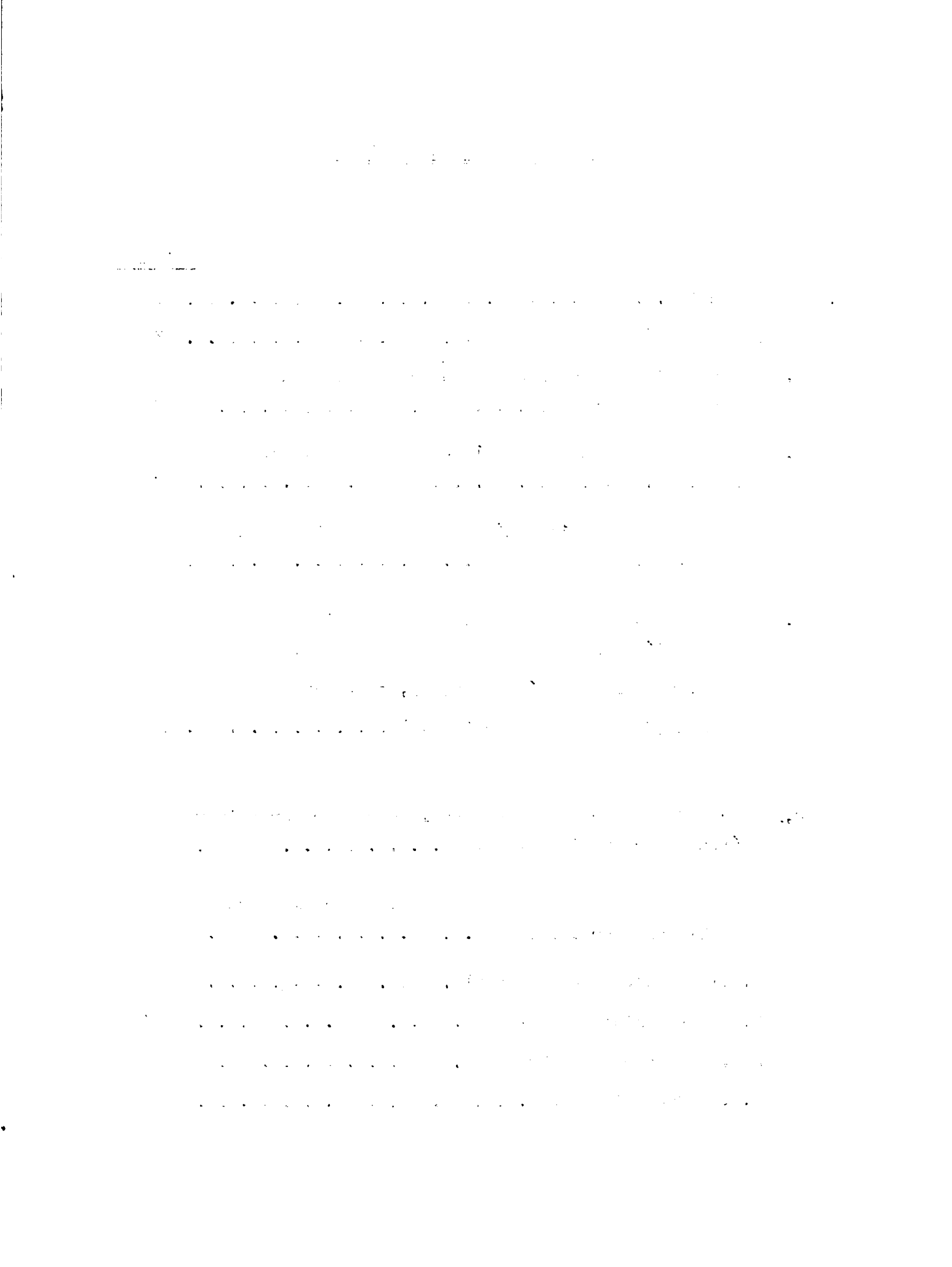
60006955

B   O   R   R   A   D   O   R

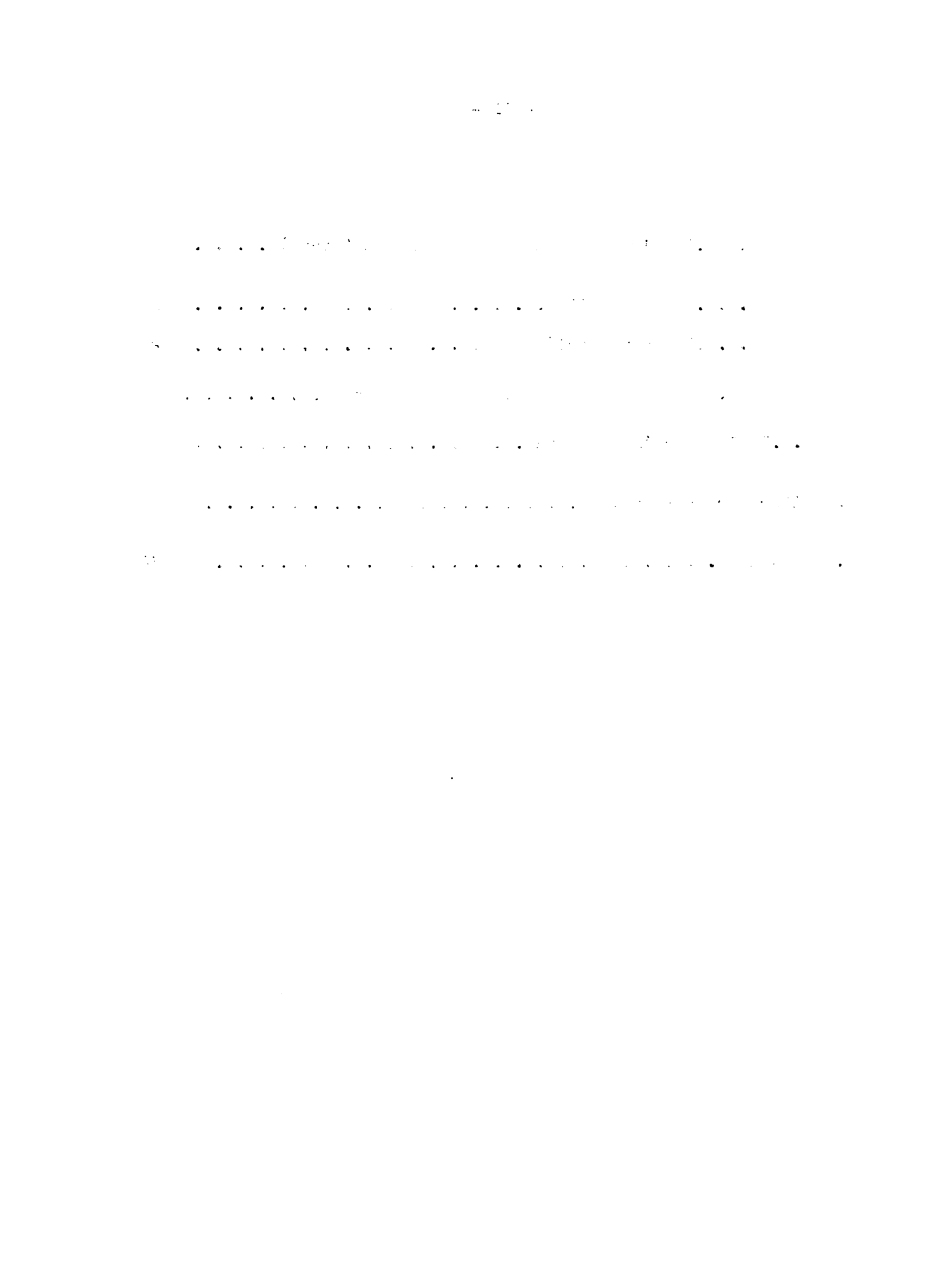


C O N T E N I D O

	<u>Página</u>
1. Introducción . . . . .	1
2. Materiales y Métodos . . . . .	3
2.1 Distribución de las localidades de referencia para el muestreo . . . . .	5
2.2 Transcurso mensual del período de incubación de la Roya . . . . .	8
2.3 Estimación del período mínimo de incubación de la Roya . . . . .	10
2.4 Estructura de Asociación entre período mínimo de incubación ( $X_1$ ), altura sobre el nivel del mar ( $X_2$ ), temperatura máxima ( $S(X_3)$ ), temperatura mínima ( $X_4$ ) y precipitación ( $X_5$ ) . . . . .	18
2.5 Epocas de muestreo en las localidades de referencia y áreas circunvecinas . . . . .	21
2.6 Plan de muestreo para el reconocimiento de la Roya en El Salvador . . . . .	.
2.6.1 Reconocimiento inicial . . . . .	.
2.6.2 La Unidad Muestral . . . . .	.
2.6.3 Tamaño de la Muestra . . . . .	.
2.6.4 Procedimientos . . . . .	.



2.6.4.1	Lista de Unidades Muestrales (Frame) . . . . .	28
2.6.4.2	Inspección . . . . .	28
2.6.4.3	Coordinación . . . . .	29
2.6.4.4	La Identificación en el Campo . . . . .	29
2.6.5	Inspección Continua . . . . .	30
3.	Literatura citada . . . . .	31
4.	Apendice . . . . .	32



LISTA DE CUADROS

Página

Cuadro 1. Localización por departamento de los puntos de referencia para el muestreo . . . . .	6
Cuadro 2. Distribución mensual del período de incubación de la Roya en 25 localidades de El Salvador . . . . .	9
Cuadro 3. Distribución por localidad de algunos factores climáticos y el período mínimo de incubación . . . . .	19
Cuadro 4. Matriz de correlación entre período mínimo de incubación, altura sobre el nivel del mar, temperatura y precipitación . . . . .	20
Cuadro 5. Epocas de muestreo en las localidades de referencia y épocas circunvecinas . . . . .	21
Cuadro 6. Epocas de muestreo estimadas para las localidades de referencia . . . . .	23
Cuadro 7. Distribución de las localidades guías por estratos . .	24
Cuadro 8. Algunos factores climáticos relacionados con el período de incubación de la Roya. Distribuido por estación de observación . . . . .	33

2000

the 1990s, the U.S. has been able to increase its share of world trade in manufactured goods from 12% to 15%. This is a remarkable achievement, given that the U.S. economy is only one-tenth the size of China's. The U.S. has also maintained its lead in high-tech industries, such as pharmaceuticals, semiconductors, and software. However, the U.S. has lost its lead in some industries, such as steel and textiles, due to increased competition from China and other developing countries. The U.S. has also faced challenges in maintaining its lead in certain industries, such as automotive manufacturing, due to changes in global supply chains and increased competition from foreign companies.

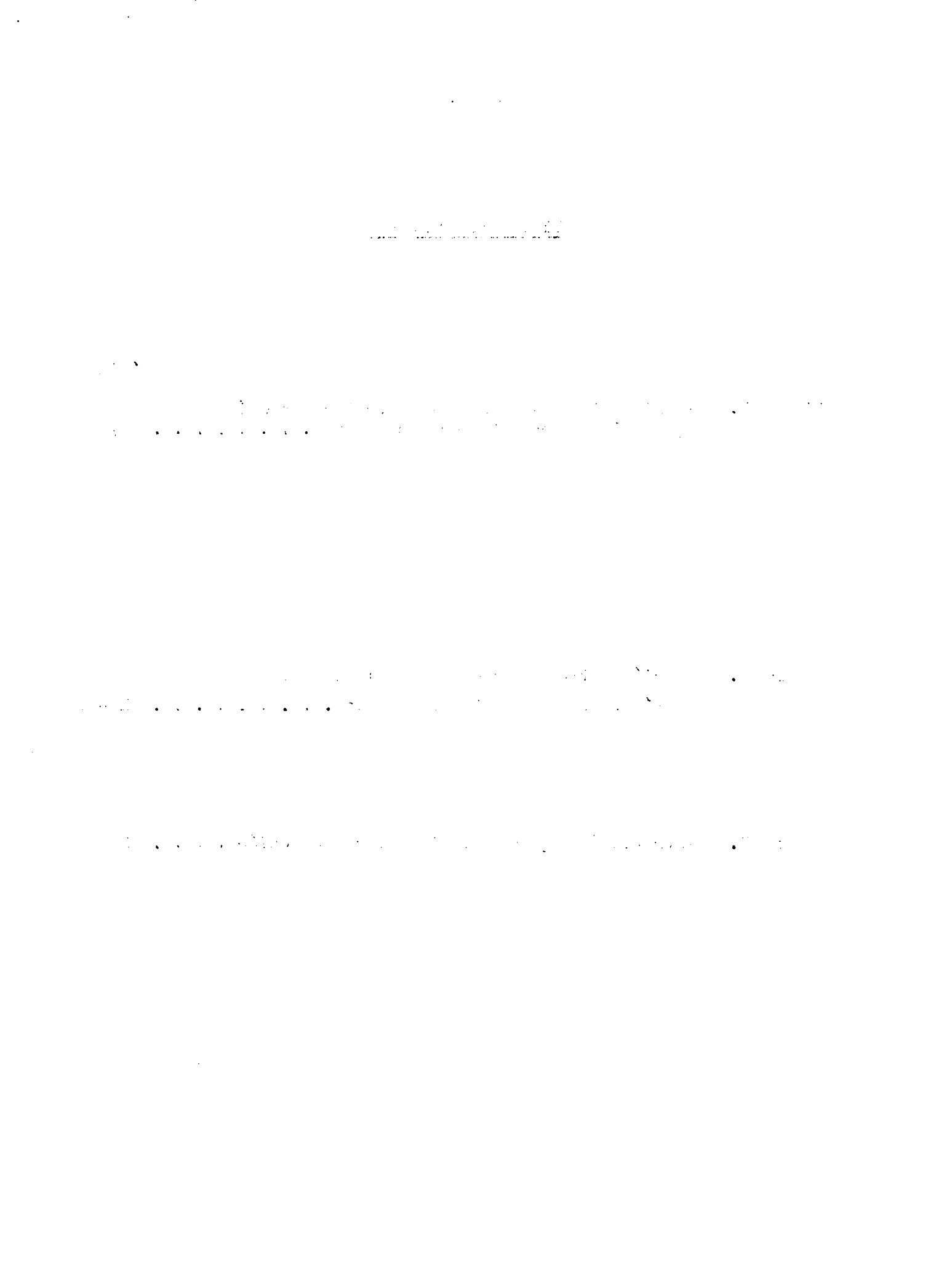
LISTA DE FIGURAS

Página

Figura 1. Distribución Espacial de las Localidades Guías  
para el Muestreo de Reconocimiento . . . . . 7

Figura 2. Relación Entre Meses del Año y la Longitud del  
Período de Incubación de la Roya . . . . . 11 - 17

Figura 3. Distribución Espacial de las Fincas de Cafée . . . . 27



## L I N T R O D U C C I O N

La ola de incertidumbre que domina el consenso de los productores de café, en El Salvador, con relación a la presencia (o ausencia) de la roya Hemileia vastatrix, amerita dedicar esfuerzos físicos y mentales para dilucidar dicha incógnita. La preocupación ha alcanzado su climax, ante la vertiginosa propagación de la dolencia en el vecino territorio brasileño.

Es innegable la gran significación del problema para un país como El Salvador, donde el café representa alrededor del 40 por ciento del volumen total de exportación. La política agropecuaria nacional podría cambiar sensiblemente su curso después de un reconocimiento de la presencia (o ausencia) de la enfermedad que conspira contra su principal fuente de riqueza.

Si por azar de las circunstancias, el hongo estuviera ya establecido en territorio salvadoreño, probablemente la estrategia del Gobierno sería la concentración de esfuerzos para su control o erradicación, si fuera posible. Por otra parte, si la dolencia no muestra ninguna manifestación que certifique su existencia, probablemente la estrategia del gobierno se concentraría en los métodos preventivos y de cuarentena, para evitar el ingreso y propagación del hongo.



Se viene afianzando cada vez más, la idea de que el reconocimiento de la enfermedad, por muestreo, podría significar la primera etapa del cómputo de trabajo que demanda la gran empresa del control de la Roya.

El objetivo principal del presente trabajo consiste en determinar la época y el método de muestreo para el reconocimiento de la Roya del Café en El Salvador.

For example, in  $\mathbb{R}^3$ , a  $2 \times 2$  matrix  $A$  defines a linear map from  $\mathbb{R}^2$  to  $\mathbb{R}^2$ .  
This map is given by  $(x_1, x_2) \mapsto (Ax_1, Ax_2)$ . If  $A$  is invertible,  
then this map is bijective, and its inverse is given by  $(y_1, y_2) \mapsto (A^{-1}y_1, A^{-1}y_2)$ .

More generally, if  $V$  and  $W$  are vector spaces over a field  $K$ , and  $A$  is a  $m \times n$  matrix  
with entries in  $K$ , then  $A$  defines a linear map from  $V$  to  $W$ . This map is given by  
 $v \mapsto Av$ , where  $v$  is represented by a column vector.

## 2. MATERIALES Y METODOS

La falta de experiencia en el reconocimiento de la Roya por medio de muestreo, dificulta considerablemente la realización del trabajo en nuestro medio cafetalero. De ahí que el éxito en la detección de la enfermedad depende en gran medida de la validez de la información utilizada, que proviene de otros países donde la dolencia se ha establecido. Fundamentalmente, aquí cabe destacar que la ecuación de predicción utilizada para estimar el período de incubación de la espora, es la obtenida por Rayner. Esto implica que nuestras estimaciones dependen de la validez y confiabilidad, con que fueron estimados los parámetros de la ecuación. Trabajos experimentales realizados en el Brasil confirman la bondad de la mencionada ecuación, por consiguiente confiamos que nuestras estimaciones también son válidas.

Algunos de los factores que deben tomarse en cuenta para aumentar la confiabilidad del reconocimiento de la enfermedad ~~son~~ discutidos con cierto detalle en el trabajo de método de reconocimiento de la Roya del Café en Costa Rica (1). En dicho trabajo el método de muestreo se basa fundamentalmente en la siguiente hipótesis:

La inspección ocular del cafetal debe realizarse en el período más corto de incubación, ya que esto implica que en menor

the same time as the other three, and I believe that it was the  
earliest record of the species in the United States. It is  
an old bird, and I have seen it often in my travels in the  
United States and Canada. I have also seen it in  
Europe, Africa, and Asia. It is a large bird, about  
the size of a pheasant, and has a long tail. It has  
a dark brown plumage, with some white feathers  
on the wings and tail. The bill is long and  
strong, and the legs are strong and powerful.  
The bird is very tame and easily approached.  
It feeds on insects, small birds, and small mammals.  
It is a good bird to hunt, and is a valuable addition  
to any collection.

tiempo habrá mayor número de generaciones, que a su vez implica mayor dosis de esporas; por consiguiente habrá mayor número de manchas que facilitarían la detección visual de la dolencia. Mientras que no se demuestre lo contrario, pareciera la premisa muy lógica y podría aplicarse hasta tanto se encuentren métodos más refinados de reconocimiento.

Además de período mínimo de incubación, Páez (1) menciona que es recomendable tener en cuenta para el reconocimiento visual, otros factores colaterales, que permitirán reducir el error de muestreo. Entre otros factores se menciona la altura de observación, que al parecer es la más adecuada alrededor de 1 m., por la mayor intensidad con que se manifiesta y por la facilidad de observarla cómodamente. El estado de madurez de la hoja también deberá tomarse en cuenta; las relaciones funcionales entre madurez y porcentaje de germinación de las esporas indican que las hojas jóvenes ofrecen mayor posibilidad de manifestar la enfermedad.

A manera de completar la información básica, se puede añadir a lo mencionado, que la inspección puede rendir mejores frutos si la observación se practica en los puntos de mayor densidad del follaje, aunque no deben descuidarse las ramas semidefoliadas.

1940-1941  
1941-1942  
1942-1943  
1943-1944  
1944-1945  
1945-1946  
1946-1947  
1947-1948  
1948-1949  
1949-1950  
1950-1951  
1951-1952  
1952-1953  
1953-1954  
1954-1955  
1955-1956  
1956-1957  
1957-1958  
1958-1959  
1959-1960  
1960-1961  
1961-1962  
1962-1963  
1963-1964  
1964-1965  
1965-1966  
1966-1967  
1967-1968  
1968-1969  
1969-1970  
1970-1971  
1971-1972  
1972-1973  
1973-1974  
1974-1975  
1975-1976  
1976-1977  
1977-1978  
1978-1979  
1979-1980  
1980-1981  
1981-1982  
1982-1983  
1983-1984  
1984-1985  
1985-1986  
1986-1987  
1987-1988  
1988-1989  
1989-1990  
1990-1991  
1991-1992  
1992-1993  
1993-1994  
1994-1995  
1995-1996  
1996-1997  
1997-1998  
1998-1999  
1999-2000  
2000-2001  
2001-2002  
2002-2003  
2003-2004  
2004-2005  
2005-2006  
2006-2007  
2007-2008  
2008-2009  
2009-2010  
2010-2011  
2011-2012  
2012-2013  
2013-2014  
2014-2015  
2015-2016  
2016-2017  
2017-2018  
2018-2019  
2019-2020  
2020-2021  
2021-2022  
2022-2023  
2023-2024  
2024-2025  
2025-2026  
2026-2027  
2027-2028  
2028-2029  
2029-2030  
2030-2031  
2031-2032  
2032-2033  
2033-2034  
2034-2035  
2035-2036  
2036-2037  
2037-2038  
2038-2039  
2039-2040  
2040-2041  
2041-2042  
2042-2043  
2043-2044  
2044-2045  
2045-2046  
2046-2047  
2047-2048  
2048-2049  
2049-2050  
2050-2051  
2051-2052  
2052-2053  
2053-2054  
2054-2055  
2055-2056  
2056-2057  
2057-2058  
2058-2059  
2059-2060  
2060-2061  
2061-2062  
2062-2063  
2063-2064  
2064-2065  
2065-2066  
2066-2067  
2067-2068  
2068-2069  
2069-2070  
2070-2071  
2071-2072  
2072-2073  
2073-2074  
2074-2075  
2075-2076  
2076-2077  
2077-2078  
2078-2079  
2079-2080  
2080-2081  
2081-2082  
2082-2083  
2083-2084  
2084-2085  
2085-2086  
2086-2087  
2087-2088  
2088-2089  
2089-2090  
2090-2091  
2091-2092  
2092-2093  
2093-2094  
2094-2095  
2095-2096  
2096-2097  
2097-2098  
2098-2099  
2099-20100

Para mayor detalle de los factores que deben tomarse en cuenta para el muestreo, remitimos al lector el trabajo arriba mencionado.

A continuación describimos las localidades que servirán de puntos de referencia para el muestreo, estimándose en cada una de ellas la distribución mensual del período de incubación, así como el mínimo período de incubación, criterio básico del método de reconocimiento descrito en este trabajo.

#### 2.1 Distribución de las localidades de referencia para el muestreo

Por la gran limitación de datos climatológicos, se consideraron solamente 25 localidades, relativamente bien distribuidas en las zonas de mayor densidad de las fincas cafetaleras. La localización espacial de los 25 puntos de referencia para el muestreo se presentan en el Cuadro 1. Para una mejor interpretación de las mismas, se detalla la ubicación de cada punto en la Figura 1 que representa el mapa del país con la delimitación de las áreas cafetaleras más importantes.

and the other two were in the same condition as the first. The last was a small, dark, irregular mass, which had been partially dissolved by the water.

The following table gives the results of the analysis of the three samples:

Sample	Weight, g.	Water, g.	Residue, g.	Water, g.	Residue, g.	Water, g.	Residue, g.
1	1.0000	0.0000	1.0000	0.0000	1.0000	0.0000	1.0000
2	1.0000	0.0000	1.0000	0.0000	1.0000	0.0000	1.0000
3	1.0000	0.0000	1.0000	0.0000	1.0000	0.0000	1.0000

These results indicate that the sample was composed of 100% of the mineral.

#### ANALYSIS OF SAMPLE

The following table gives the results of the analysis of the sample:

Element	Weight, g.	Percentage
Aluminum	0.0000	0.00%
Boron	0.0000	0.00%
Chlorine	0.0000	0.00%
Iron	0.0000	0.00%
Magnesium	0.0000	0.00%
Potassium	0.0000	0.00%
Silicon	0.0000	0.00%
Sulfur	0.0000	0.00%
Titanium	0.0000	0.00%
Zinc	0.0000	0.00%

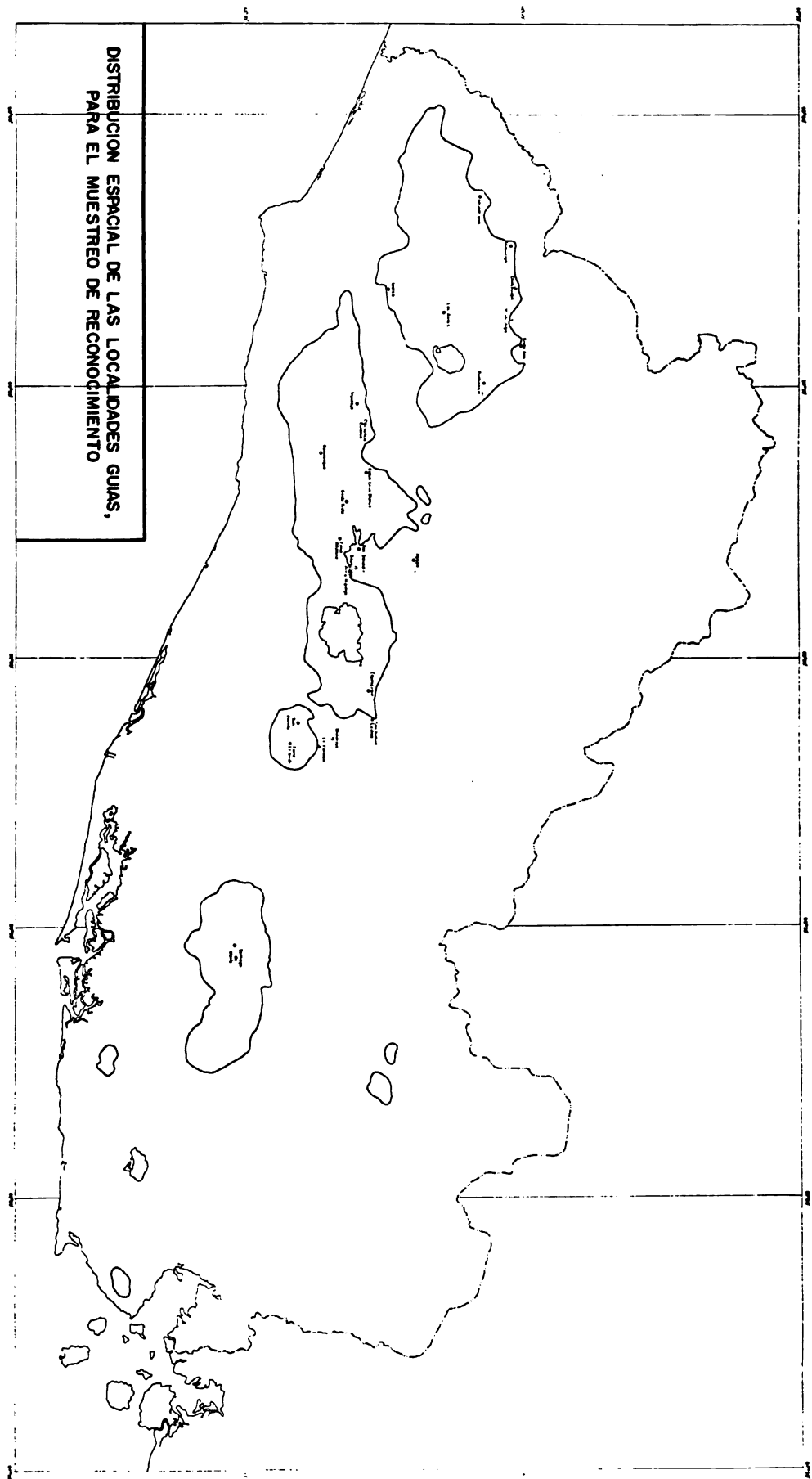
Cuadro 1. Localización por departamento de los puntos de referencia para el muestreo

Localidad	Latitud	Longitud	Departamento
Izalco	13° 46'	89° 42'	Sosonate
Apopa	13° 49'	89° 10'	San Salvador
Finca El Verde	13° 35'	88° 51'	La Paz
Beneficio Curazao	13° 43'	89° 26'	La Libertad
Moláneros	13° 39'	88° 52'	San Vicente
Ilopango (aerop.)	13° 42'	89° 07'	San Salvador
Atiquizaya	13° 58'	89° 45'	Ahuachapan
Soyapango	13° 42'	89° 08'	San Salvador
Colon Casa Blanca	13° 43'	89° 21'	La Libertad
San Rafael Cedros	13° 45'	88° 53'	Cuscatlán
San Salvador	13° 42'	89° 12'	San Salvador
Chalchuada	13° 59'	89° 41'	Santa Ana
Santa Ana	14° 00'	89° 34'	Santa Ana
Beneficio Montealegre	13° 59'	89° 38'	Santa Ana
Ahuachapan	13° 56'	89° 51'	Ahuachapan
Cojutepeque	13° 43'	88° 56'	Cuscatlán
Finca San Jacinto	13° 36'	88° 53'	La Paz
Coatepeque (congo)	13° 55'	89° 30'	Santa Ana
Finca Altamira	13° 41'	89° 13'	San Salvador
Santiago de María	13° 29'	88° 28'	Isołuțan
Tepecoyo	13° 43'	89° 29'	La Libertad
Santa Tecla	13° 41'	89° 17'	La Libertad
Comasagua	13° 38'	89° 22'	La Libertad
Finca El Carmen	13° 37'	88° 50'	San Vicente
Los Andes	13° 53'	89° 39'	Santa Ana

ANALYSIS OF THE INFLUENCE OF THE CROWN AND FLANGE ON THE STRENGTH

TYPE OF CROWN	NUMBER OF CROWNS	MEAN STRENGTH	STANDARD DEVIATION
Cast	12	10.2	0.8
Plastic	12	10.0	0.7
Porcelain	12	9.8	0.6
Gold	12	9.6	0.5
Alumina	12	9.4	0.4
Silicon Nitride	12	9.2	0.3
Zirconia	12	9.0	0.2
Alumina-Zirconia	12	8.8	0.1
Silicon Nitride-Zirconia	12	8.6	0.1
Zirconia-Alumina	12	8.4	0.1
Zirconia-Silicon Nitride	12	8.2	0.1
Zirconia-Zirconia	12	8.0	0.1
Zirconia-Alumina-Silicon Nitride	12	7.8	0.1
Zirconia-Zirconia-Alumina	12	7.6	0.1
Zirconia-Zirconia-Silicon Nitride	12	7.4	0.1
Zirconia-Alumina-Zirconia	12	7.2	0.1
Zirconia-Silicon Nitride-Zirconia	12	7.0	0.1
Zirconia-Zirconia-Alumina-Silicon Nitride	12	6.8	0.1
Zirconia-Zirconia-Alumina-Zirconia	12	6.6	0.1
Zirconia-Zirconia-Silicon Nitride-Zirconia	12	6.4	0.1
Zirconia-Alumina-Zirconia-Silicon Nitride	12	6.2	0.1
Zirconia-Zirconia-Alumina-Zirconia-Silicon Nitride	12	6.0	0.1
Zirconia-Zirconia-Alumina-Zirconia-Zirconia	12	5.8	0.1
Zirconia-Zirconia-Silicon Nitride-Zirconia-Zirconia	12	5.6	0.1
Zirconia-Alumina-Zirconia-Zirconia-Silicon Nitride	12	5.4	0.1
Zirconia-Zirconia-Alumina-Zirconia-Zirconia-Silicon Nitride	12	5.2	0.1
Zirconia-Zirconia-Alumina-Zirconia-Zirconia-Zirconia	12	5.0	0.1
Zirconia-Zirconia-Silicon Nitride-Zirconia-Zirconia-Zirconia	12	4.8	0.1
Zirconia-Alumina-Zirconia-Zirconia-Zirconia-Silicon Nitride	12	4.6	0.1
Zirconia-Zirconia-Alumina-Zirconia-Zirconia-Zirconia-Silicon Nitride	12	4.4	0.1
Zirconia-Zirconia-Alumina-Zirconia-Zirconia-Zirconia-Zirconia	12	4.2	0.1
Zirconia-Zirconia-Silicon Nitride-Zirconia-Zirconia-Zirconia-Zirconia	12	4.0	0.1
Zirconia-Alumina-Zirconia-Zirconia-Zirconia-Zirconia-Silicon Nitride	12	3.8	0.1
Zirconia-Zirconia-Alumina-Zirconia-Zirconia-Zirconia-Zirconia-Silicon Nitride	12	3.6	0.1
Zirconia-Zirconia-Alumina-Zirconia-Zirconia-Zirconia-Zirconia-Zirconia	12	3.4	0.1
Zirconia-Zirconia-Silicon Nitride-Zirconia-Zirconia-Zirconia-Zirconia-Zirconia	12	3.2	0.1
Zirconia-Alumina-Zirconia-Zirconia-Zirconia-Zirconia-Zirconia-Silicon Nitride	12	3.0	0.1
Zirconia-Zirconia-Alumina-Zirconia-Zirconia-Zirconia-Zirconia-Zirconia-Silicon Nitride	12	2.8	0.1
Zirconia-Zirconia-Alumina-Zirconia-Zirconia-Zirconia-Zirconia-Zirconia-Zirconia	12	2.6	0.1
Zirconia-Zirconia-Silicon Nitride-Zirconia-Zirconia-Zirconia-Zirconia-Zirconia-Zirconia	12	2.4	0.1
Zirconia-Alumina-Zirconia-Zirconia-Zirconia-Zirconia-Zirconia-Zirconia-Silicon Nitride	12	2.2	0.1
Zirconia-Zirconia-Alumina-Zirconia-Zirconia-Zirconia-Zirconia-Zirconia-Zirconia-Silicon Nitride	12	2.0	0.1
Zirconia-Zirconia-Alumina-Zirconia-Zirconia-Zirconia-Zirconia-Zirconia-Zirconia-Zirconia	12	1.8	0.1
Zirconia-Zirconia-Silicon Nitride-Zirconia-Zirconia-Zirconia-Zirconia-Zirconia-Zirconia-Zirconia	12	1.6	0.1
Zirconia-Alumina-Zirconia-Zirconia-Zirconia-Zirconia-Zirconia-Zirconia-Zirconia-Silicon Nitride	12	1.4	0.1
Zirconia-Zirconia-Alumina-Zirconia-Zirconia-Zirconia-Zirconia-Zirconia-Zirconia-Zirconia-Silicon Nitride	12	1.2	0.1
Zirconia-Zirconia-Alumina-Zirconia-Zirconia-Zirconia-Zirconia-Zirconia-Zirconia-Zirconia-Zirconia	12	1.0	0.1
Zirconia-Zirconia-Silicon Nitride-Zirconia-Zirconia-Zirconia-Zirconia-Zirconia-Zirconia-Zirconia-Zirconia	12	0.8	0.1
Zirconia-Alumina-Zirconia-Zirconia-Zirconia-Zirconia-Zirconia-Zirconia-Zirconia-Zirconia-Silicon Nitride	12	0.6	0.1
Zirconia-Zirconia-Alumina-Zirconia-Zirconia-Zirconia-Zirconia-Zirconia-Zirconia-Zirconia-Zirconia-Silicon Nitride	12	0.4	0.1
Zirconia-Zirconia-Alumina-Zirconia-Zirconia-Zirconia-Zirconia-Zirconia-Zirconia-Zirconia-Zirconia-Zirconia	12	0.2	0.1
Zirconia-Zirconia-Silicon Nitride-Zirconia-Zirconia-Zirconia-Zirconia-Zirconia-Zirconia-Zirconia-Zirconia-Zirconia	12	0.0	0.1

DISTRIBUCION ESPACIAL DE LAS LOCALIDADES GUIAS,  
PARA EL MUESTREO DE RECONOCIMIENTO





## 2.2 Transcurso mensual del período de incubación de la Roya:

De conformidad con nuestra premisa básica, se procedió a la estimación del período de incubación mensual de la Roya.

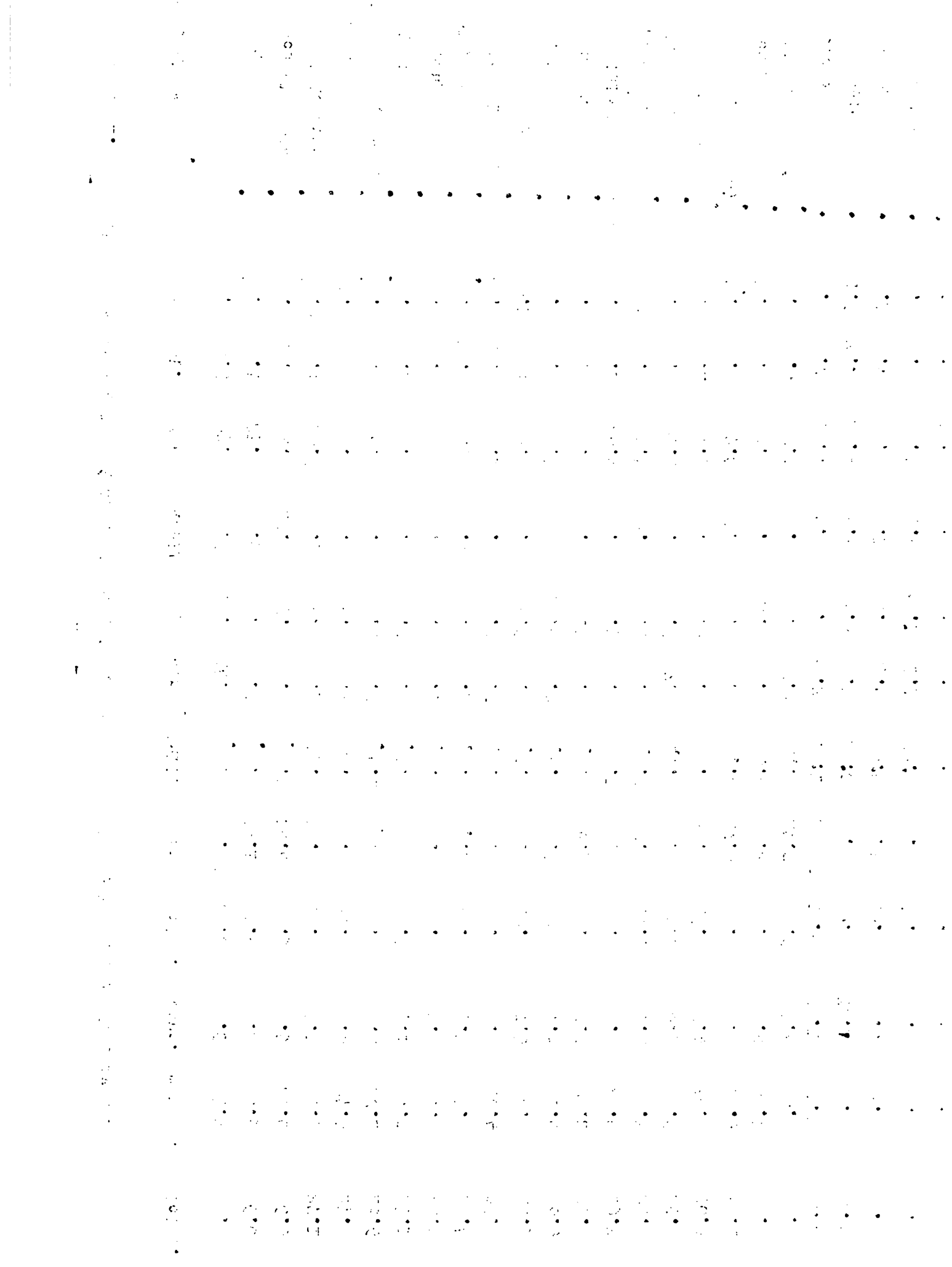
Para tal efecto, se adjudicó la ecuación de Rayner, previamente utilizada en trabajo similar realizado en Costa Rica (1) y que tiene la forma funcional  $I = f(b, t_1, t_2)$  donde  $t_1$  y  $t_2$  representan las temperaturas máximas y mínimas. Los resultados de la estimación se presentan en el Cuadro 2. Estos datos sirvieron como base para la estimación del período mínimo de incubación, que es el criterio propuesto en este trabajo para el muestreo de reconocimiento de la Roya en el país.

A juzgar por los valores mensuales del período de incubación estimado (Cuadro 2), se observa la gran variabilidad que éste presenta entre localidades, y aún dentro de localidades. Esto a su vez solidifica nuestro argumento, que una mejor época de muestreo para el reconocimiento debe contemplar los factores que influyen en el período de incubación, para minimizar el error en la detección de la dolencia.

the same time, the author has been able to determine the exact position of the various points of the diagram. The first point is the point  $P$  which is the intersection of the two lines  $AB$  and  $CD$ . This point is located at approximately  $(100, 100)$  in the coordinate system. The second point is the point  $Q$  which is the intersection of the two lines  $EF$  and  $GH$ . This point is located at approximately  $(250, 250)$  in the coordinate system. The third point is the point  $R$  which is the intersection of the two lines  $AC$  and  $BD$ . This point is located at approximately  $(150, 200)$  in the coordinate system. The fourth point is the point  $S$  which is the intersection of the two lines  $EG$  and  $FH$ . This point is located at approximately  $(200, 250)$  in the coordinate system. The fifth point is the point  $T$  which is the intersection of the two lines  $AE$  and  $CF$ . This point is located at approximately  $(150, 150)$  in the coordinate system. The sixth point is the point  $U$  which is the intersection of the two lines  $AD$  and  $BC$ . This point is located at approximately  $(200, 100)$  in the coordinate system. The seventh point is the point  $V$  which is the intersection of the two lines  $EH$  and  $FG$ . This point is located at approximately  $(250, 150)$  in the coordinate system. The eighth point is the point  $W$  which is the intersection of the two lines  $AF$  and  $CE$ . This point is located at approximately  $(150, 250)$  in the coordinate system. The ninth point is the point  $X$  which is the intersection of the two lines  $AG$  and  $BH$ . This point is located at approximately  $(200, 200)$  in the coordinate system. The tenth point is the point  $Y$  which is the intersection of the two lines  $AE$  and  $CF$ . This point is located at approximately  $(150, 200)$  in the coordinate system. The eleventh point is the point  $Z$  which is the intersection of the two lines  $AD$  and  $BC$ . This point is located at approximately  $(200, 150)$  in the coordinate system.

Cuadro 2. Distribución mensual del período de incubación de la Roya en 25 localidades de El Salvador

Localidad	Enero	Feb.	Marzo	Abril	Mayo	Junio	Julio	Agosto	Setiem.	Octub.	Noviem.	Diciem.
Izalco	25.2	24.6	23.3	22.6	23.0	24.5	24.2	23.9	24.6	24.6	24.7	24.9
Apopa	26.0	25.1	23.5	22.5	23.0	24.5	24.3	24.1	24.9	25.2	25.9	26.0
Finca El Verde	26.9	25.8	24.4	23.2	23.7	25.2	25.0	24.8	25.5	25.9	26.6	26.8
Beneficio Curazao	27.2	26.1	24.6	23.5	24.0	25.5	25.3	25.0	25.8	26.1	26.9	27.1
Molineros	27.9	26.9	25.3	24.2	24.7	26.1	25.9	25.7	26.3	26.8	27.6	27.9
Ilopango (aerop.)	28.3	27.7	26.3	24.9	25.2	26.5	26.1	26.2	26.8	27.2	28.2	28.6
Atiquizaya	28.2	27.1	25.6	24.5	24.9	26.4	26.2	25.9	26.6	27.1	27.9	28.1
Soyapango	28.2	27.0	25.6	24.4	24.9	26.3	26.2	25.9	26.6	27.0	27.8	28.0
Colon Casa Blanca	28.4	27.3	25.8	24.7	25.0	26.5	26.3	26.1	26.8	27.3	28.2	28.4
San Rafael Cedros	28.8	27.6	26.1	25.0	25.3	26.7	26.5	26.4	27.0	27.6	28.4	28.7
San Salvador	29.1	28.1	26.2	25.0	25.6	26.8	27.0	26.8	27.2	27.8	28.8	29.3
Chalchuapa	28.5	27.8	26.4	25.2	25.6	27.0	26.9	26.6	27.2	27.8	28.6	28.9
Santa Ana	28.8	27.8	25.8	24.8	25.3	26.9	26.8	26.5	26.9	27.3	28.2	28.8
Benecicio Montealegre	29.4	28.2	26.7	25.5	25.9	27.3	27.1	26.9	27.5	28.1	29.0	29.3
Ahuachapan	29.4	28.2	26.8	25.7	26.0	27.4	27.2	27.0	27.6	28.2	29.1	29.3
Cojutepeque	30.0	28.8	27.4	26.2	26.6	27.9	27.8	29.5	28.1	28.7	29.6	29.9
Finca San Jacinto	30.3	29.1	27.7	26.5	26.9	28.2	28.0	27.8	28.4	28.9	30.0	30.2
Coatepeque (Congo)	30.3	29.2	27.6	26.5	26.8	28.1	28.0	27.8	28.4	28.9	29.9	30.2
Finca Altamira	30.9	29.6	28.2	27.0	27.3	28.6	28.4	28.2	28.8	29.5	30.4	30.7
Santiago de María	29.6	28.4	27.1	26.4	26.9	28.4	28.0	27.7	28.6	29.8	30.8	31.4
Tepecoyo	31.6	30.3	28.8	27.7	28.0	29.2	29.1	28.8	29.3	30.1	31.1	31.4
Santa Tecla	31.6	30.8	29.4	28.3	28.5	29.5	29.0	28.9	29.8	30.1	30.8	31.4
Corasagua	32.1	30.7	29.4	28.1	28.5	29.6	29.5	29.3	29.9	30.5	31.6	32.0
Finca El Carmen	35.0	33.5	32.3	30.9	31.1	32.1	32.0	31.7	32.2	33.2	34.3	34.9
La Union	29.8	28.9	28.4	27.4	28.1	28.2	28.0	27.8	28.4	29.0	30.4	30.8

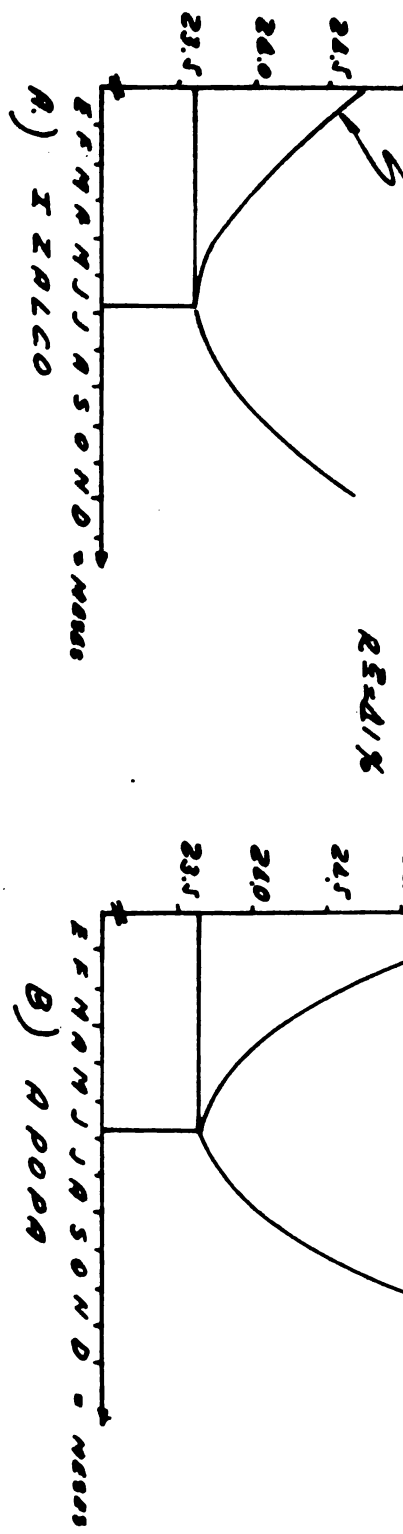
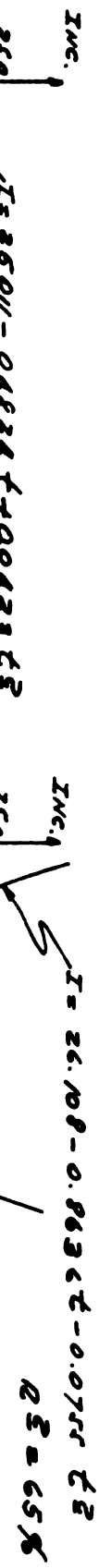


### 2.3 Estimación del período mínimo de incubación de la Roya:

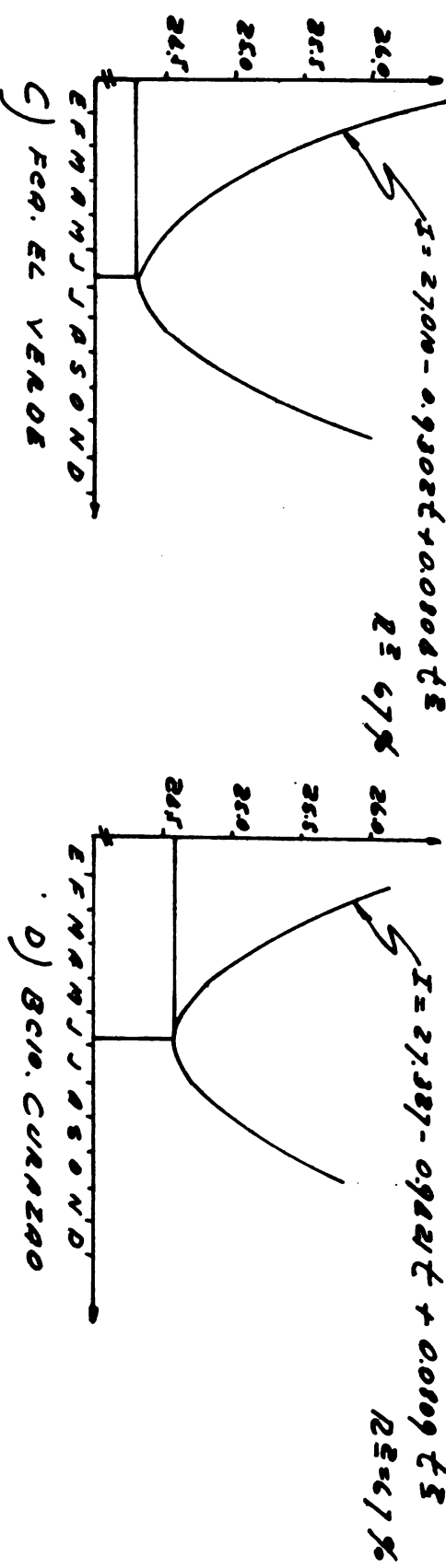
Los datos del Cuadro 2 fueron utilizados para la estimación del período mínimo de incubación del hongo. El período de incubación se tomó como función del tiempo (expresado en mes) por medio de la relación funcional  $I = f(b, t)$  donde  $I$  es el período de incubación y  $t$  el tiempo en meses. Esta ecuación tiene la forma de una parábola típica, por consiguiente  $\frac{dI}{dt} = 0$ , produce un punto estacionario que en todos los casos analizados representó un punto mínimo. La solución  $\frac{dI}{dt} = 0$  rinde el dato básico del mes en que debe efectuarse el muestreo. Desde luego, considerando el tiempo como una variable continua, podría estimarse el período mínimo como fracciones del mes o en días. En la Figura 1 se presenta gráficamente el transcurso del período de incubación, y los puntos o meses donde ocurren los mínimos. El período mínimo de incubación demuestra una variación bastante amplia desde aproximadamente 23 hasta 36 días,

127  
Sister - I am sorry to say that I have been very ill for the last few days. I have had a bad cold and a fever. I am still not well enough to go back to work. I hope to be better soon. I am sending you a letter every day. Please write back to me. I miss you very much.

II



$$I = 27.001 - 0.9822 e^{-0.00823 t^2} \quad R = 67 \Omega$$

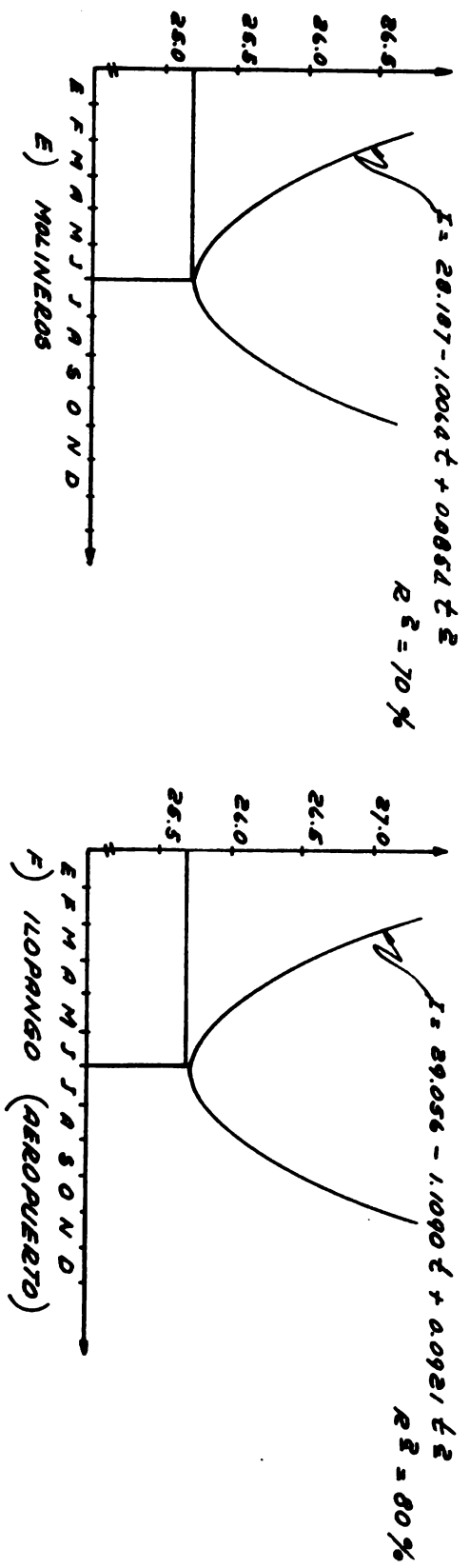


$$I = 27.387 - 0.9822 e^{-0.00823 t^2} \quad R = 67 \Omega$$

C) FCO. EL VERDE

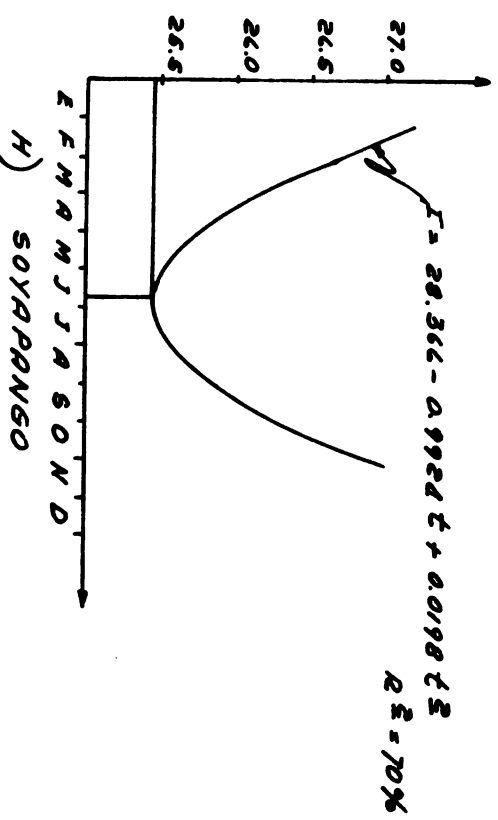
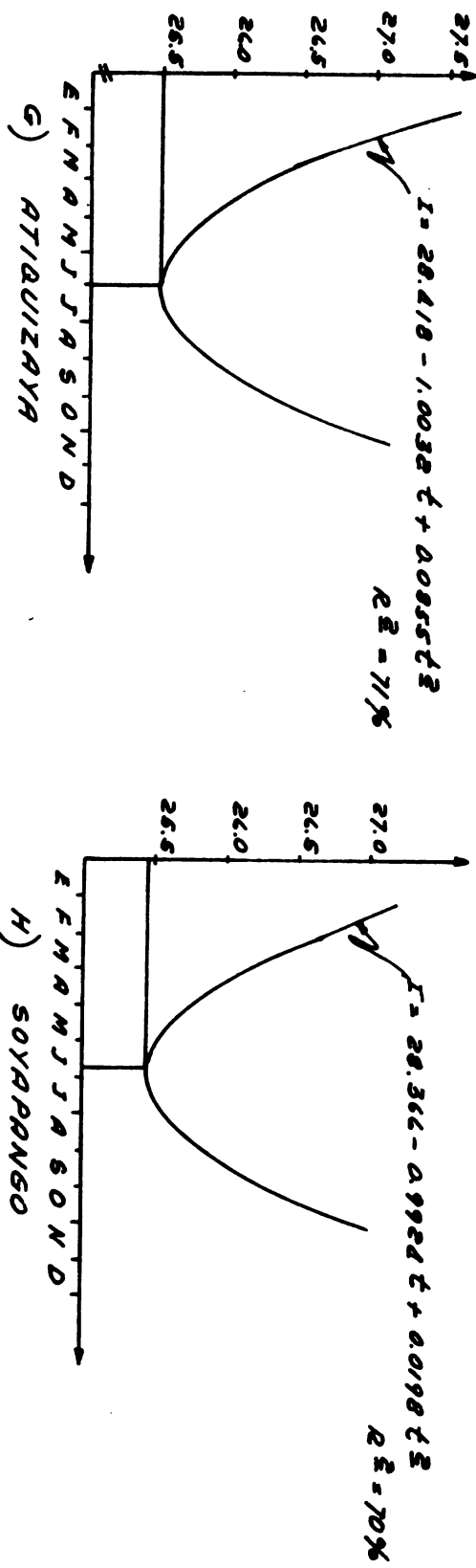
D) BC10. CURVAZO





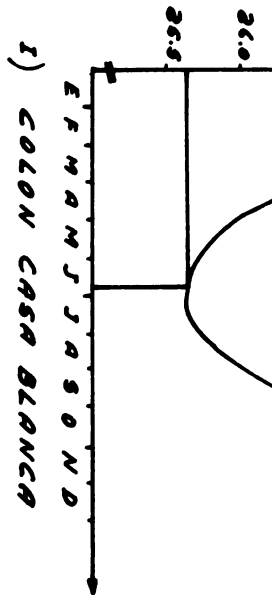
$E$  F M A N J J A S O N D

 $T = 28.418 - 1.0038t + 0.00855t^2$   
 $R^2 = 71\%$

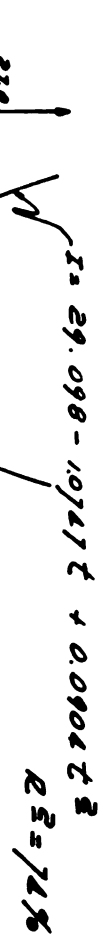


C) RTIAUIZAYA

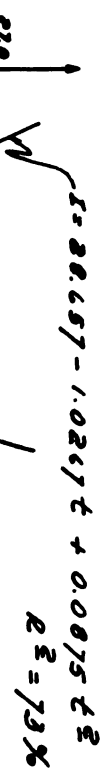




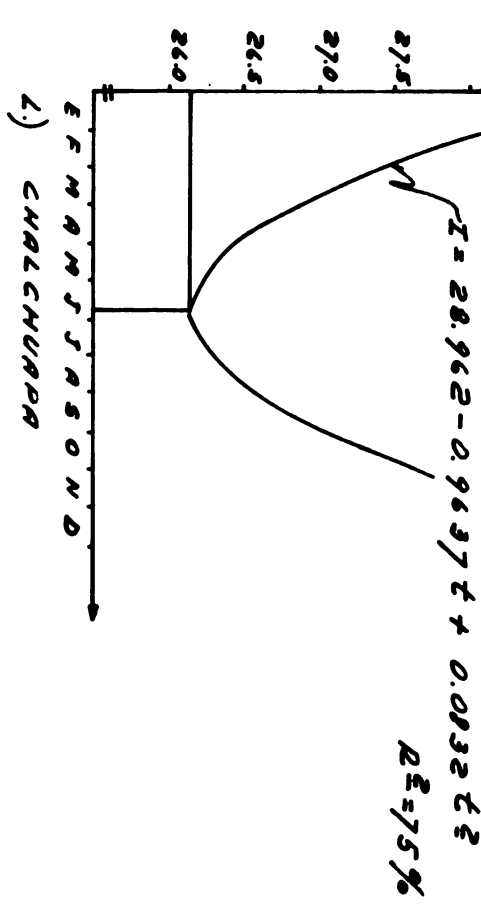
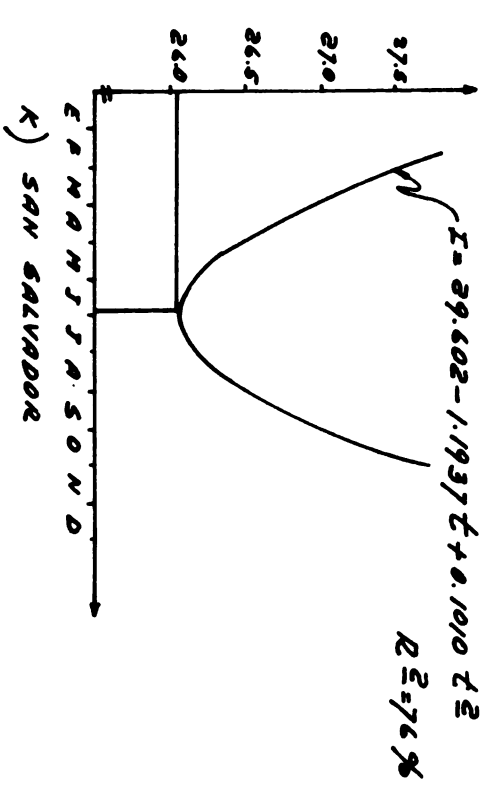
I) COLON CANCER BLADDER



II) SAN ROBERT GEORGES

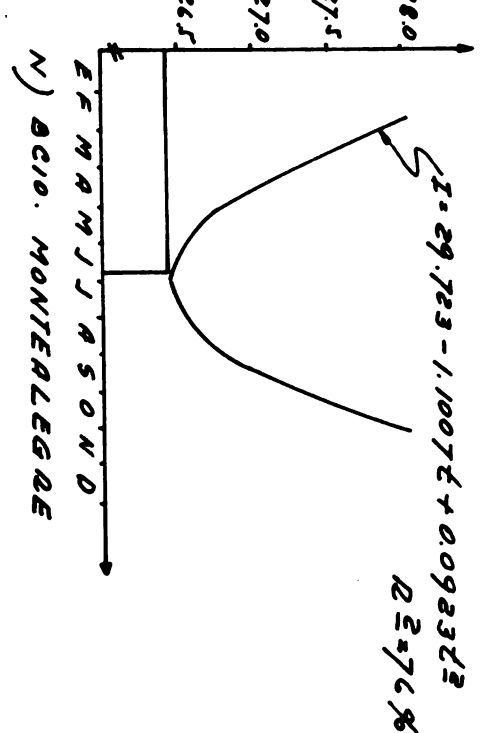
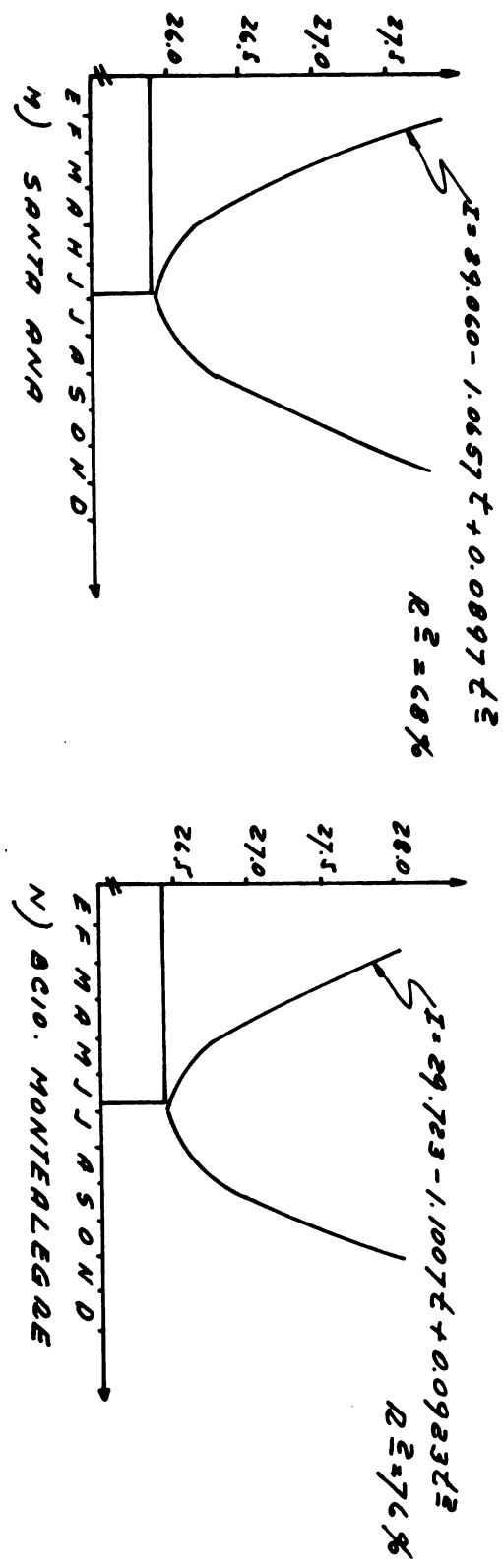
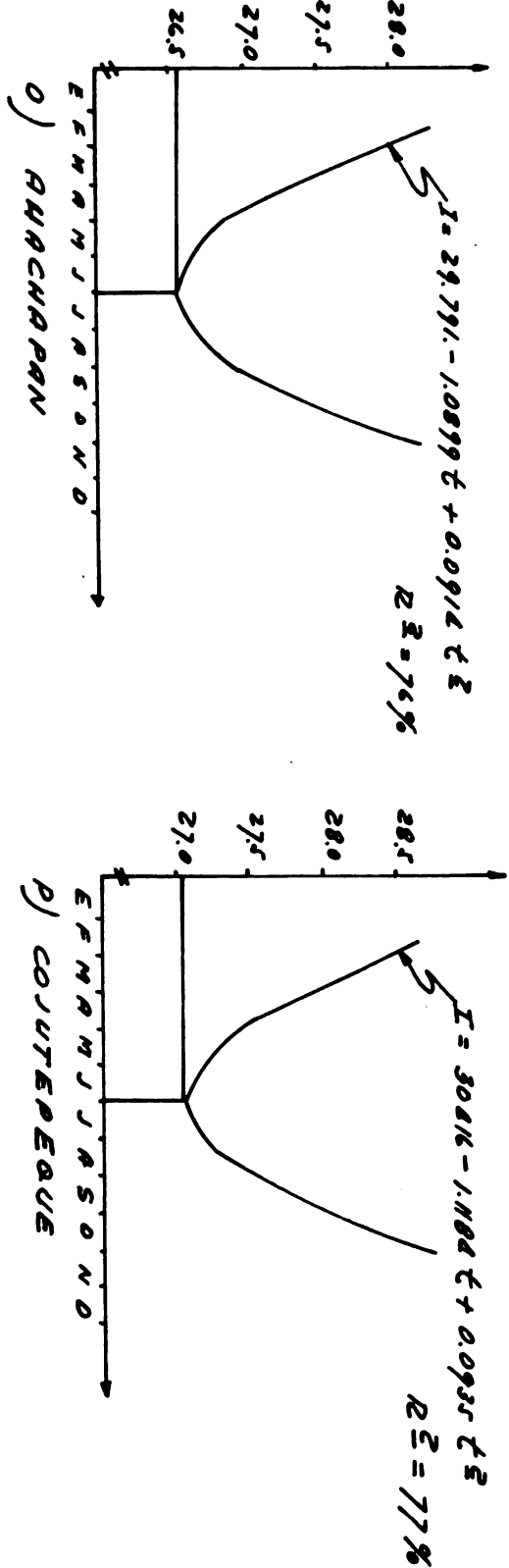


III) COLON CANCER PANCREAS

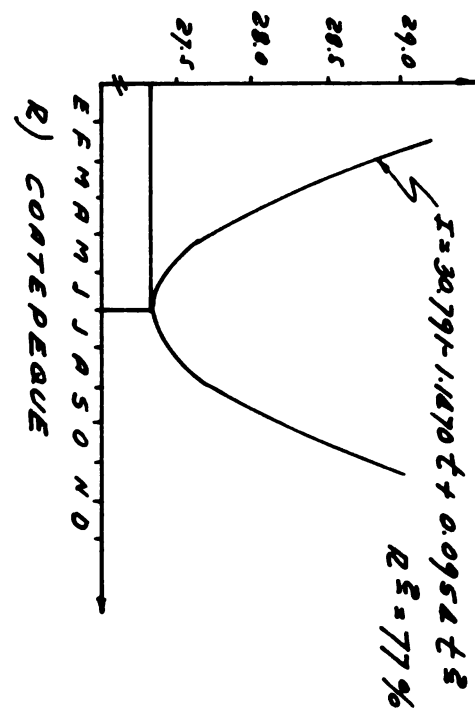
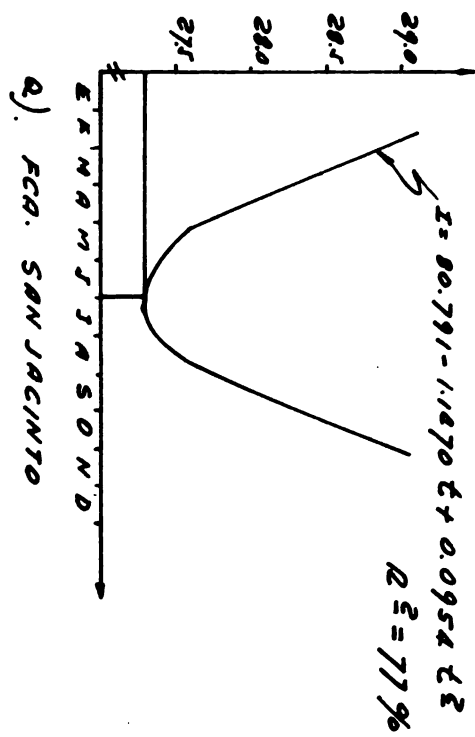
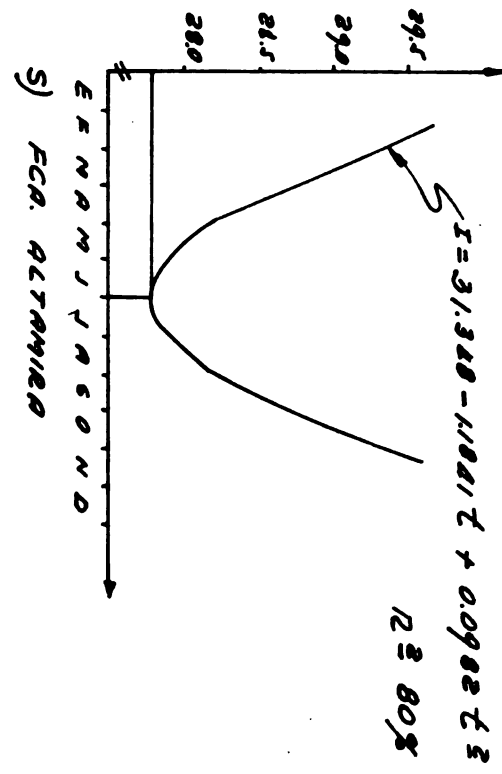
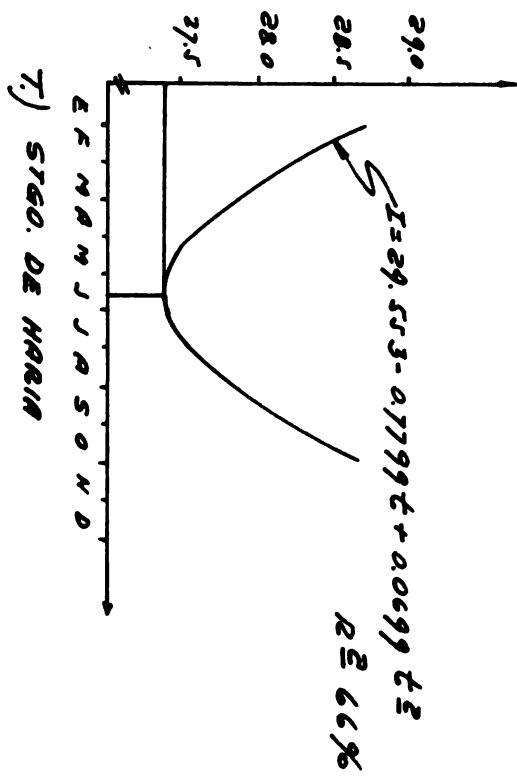


IV) SAN GALLIADORE

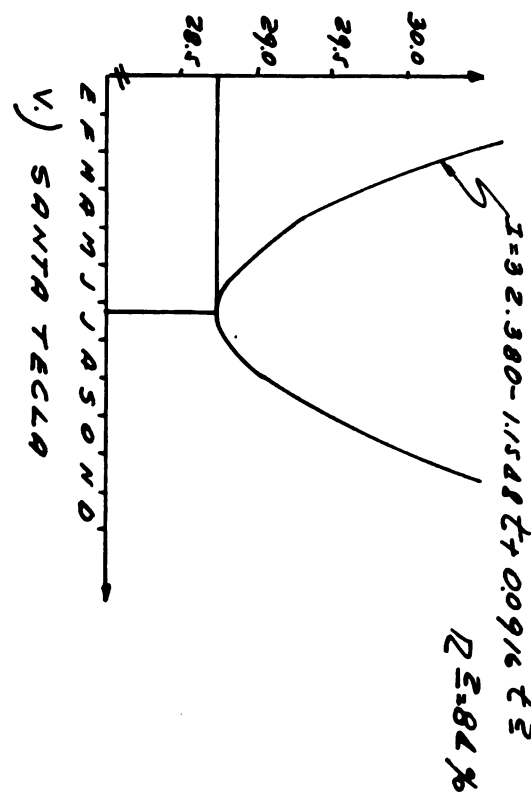
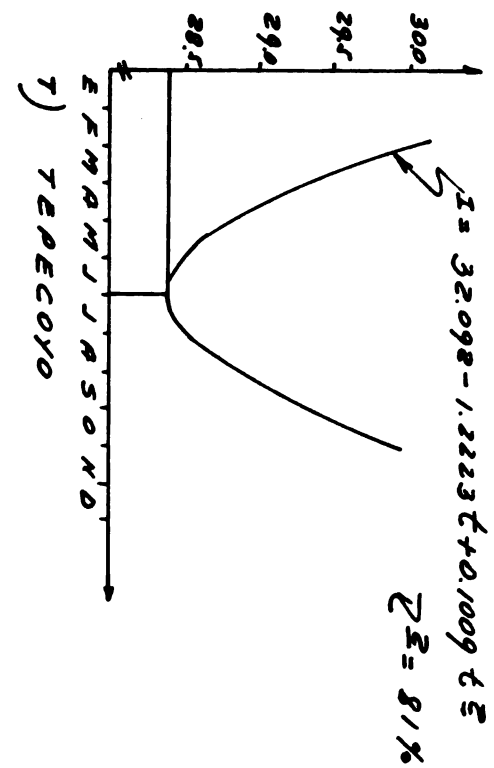
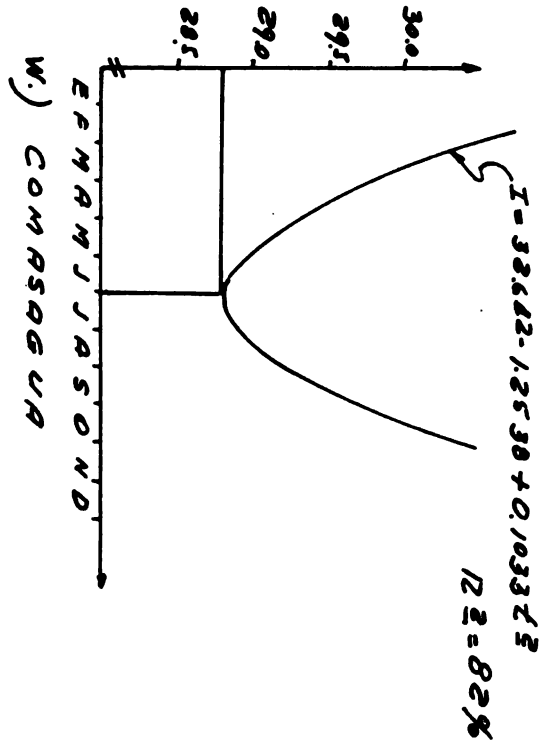
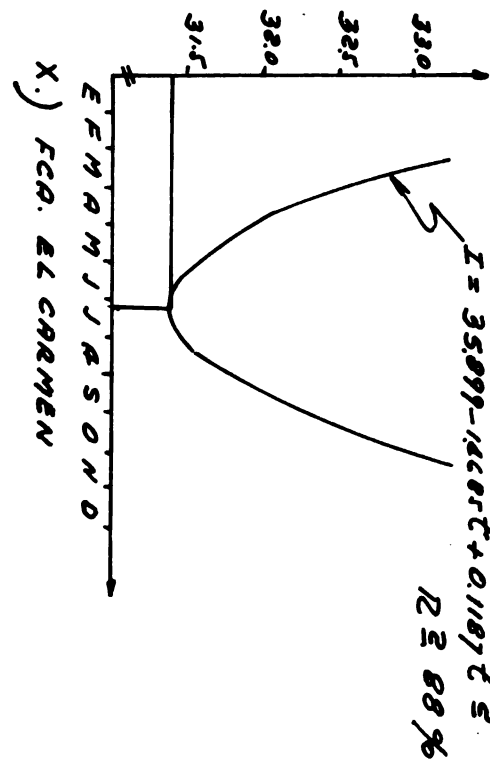














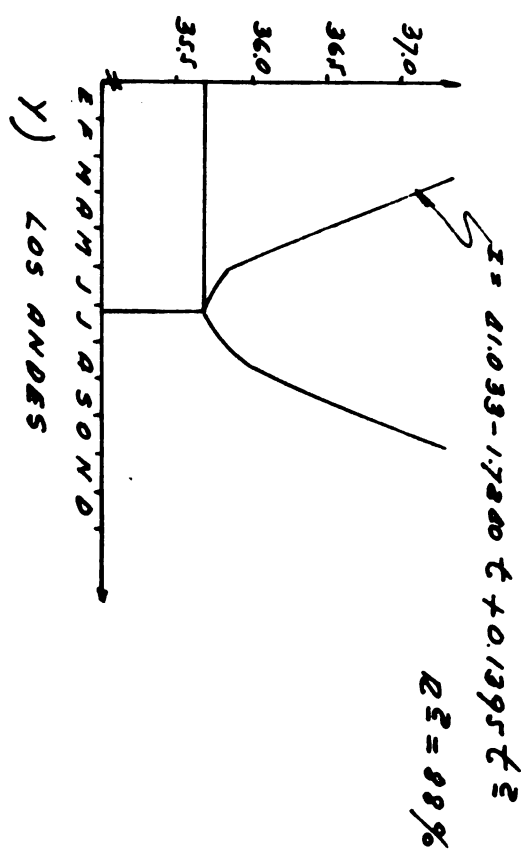


FIGURA 2: RELACION ENTRE MESES DEL AÑO Y LA CONSTITUCION DEL PERIODO DE INCUBACION DE LA RORAIMA.



2.4 Estructura de Asociación entre período mínimo de incubación ( $X_1$ ), altura sobre el nivel del mar ( $X_2$ ), temperatura máxima ( $X_3$ ), temperatura mínima ( $X_4$ ) y precipitación ( $X_5$ )

En el Cuadro 3 se presentan los datos de las 5 variables en referencia, utilizadas para estimar la matriz de correlación y en el Cuadro 4 aparece la estructura de la asociación entre las variables consideradas. A juzgar por la matriz de correlaciones, se puede afirmar que el período mínimo de incubación está alta y positivamente correlacionado con la altura sobre el nivel del mar, hecho que concuerda con la expectación teórica. Por otra parte la temperatura máxima está asociada fuerte y negativamente al período de incubación, la misma tendencia de asociación se observa con la temperatura mínima, aunque la fuerza de asociación es mucho menor. La precipitación no muestra variación paralela al período mínimo de incubación, para las localidades estudiadas de El Salvador. Cabe mencionar que esta última variable mostró una cierta asociación con el período mínimo de incubación en las condiciones reinantes Costa Rica.

the first time, and I am sure it will be the last. I have been thinking about it a great deal, and I have come to the conclusion that it is best to let it go. I have decided to leave the company and start my own business. I am not sure what kind of business I want to start, but I know that I want to do something that I am passionate about. I am also aware that starting a business is not easy, but I am willing to take the risk. I am grateful for the opportunity to work at this company, and I hope that I can find a new job soon. I am also grateful for the support of my family and friends, who have been there for me throughout this process. I am looking forward to the future and the opportunities that lie ahead.

Cuadro 3: Distribución por localidad de algunos factores climáticos  
y el período mínimo de incubación

Localidad	Elevac. m.	Temperatura (°C) Máx. Mín. Media	Precipitac. mm.	Período Mín. Incub. días
Izalco	390	32.2 19.8 24.3	3.014	23.6
Apopa	420	31.9 19.5 24.6	2.742	23.6
Finca El Verde	500	31.4 19.1 24.1	3.709	24.3
Beneficio Curazao	530	31.2 19.0 23.9	2.885	24.6
Molineros	600	30.6 18.6 23.5	2.799	25.2
Ilopango (Aerop.)	615	30.4 18.1 23.0	2.098	25.7
Atiquizaya	630	30.4 18.4 23.3	2.586	25.5
Soyapango	650	30.4 18.5 23.3	2.543	25.5
Colon Casa Blanca	650	30.3 18.3 23.2	2.249	25.6
San Rafael Cedros	680	30.0 18.2 23.0	2.763	25.9
San Salvador	700	30.1 17.7 22.9	2.284	26.1
Chalchuapa	705	29.9 18.0 22.9	3.315	26.2
Santa Ana	725	30.5 17.8 22.7	2.521	25.9
Beneficio Montealegre	740	29.6 17.8 22.6	2.820	26.4
Ahuachapan	750	29.6 17.8 22.6	2.706	26.5
Cojutepeque	810	29.1 17.5 22.2	3.844	27.1
Finca San Jacinto	840	28.9 17.4 22.0	3.616	27.3
Coatepeque (Congo)	840	28.9 17.4 22.0	2.347	27.3
Finca Altamira	890	28.5 17.1 21.7	3.444	27.8
Santiago de María	920	29.0 17.5 22.0		27.4
Tepecoyo	960	28.0 16.8 21.3	2.387	28.4
Santa Tecla	965	28.5 16.0 20.8	2.249	28.7
Comasagua	1010	27.7 16.5 20.9	2.513	28.8
Finca El Carmen	1320	25.6 15.0 19.2	2.782	31.4
Los Andes	1770	20.9 13.5 16.3		35.7

17  
The first *Sho* of the year was held at the Nishimura Shrine, on the 17th of January.  
The *Sho* was performed by the *Shinsho* *Hanabishi* of the *Shinsho* *Kyoto*,  
and the *Sho* was presided over by the *Shonin* *Shigemitsu* of the *Shonin* *Kyoto*.  
The *Sho* was performed in the *Sho* hall of the *Nishimura* Shrine.  
The *Sho* was performed for the *Sho* of the *Shinsho* *Hanabishi* of the *Shinsho* *Kyoto*,  
and the *Sho* was presided over by the *Shonin* *Shigemitsu* of the *Shonin* *Kyoto*.  
The *Sho* was performed in the *Sho* hall of the *Nishimura* Shrine.  
The *Sho* was performed for the *Sho* of the *Shinsho* *Hanabishi* of the *Shinsho* *Kyoto*,  
and the *Sho* was presided over by the *Shonin* *Shigemitsu* of the *Shonin* *Kyoto*.  
The *Sho* was performed in the *Sho* hall of the *Nishimura* Shrine.  
The *Sho* was performed for the *Sho* of the *Shinsho* *Hanabishi* of the *Shinsho* *Kyoto*,  
and the *Sho* was presided over by the *Shonin* *Shigemitsu* of the *Shonin* *Kyoto*.  
The *Sho* was performed in the *Sho* hall of the *Nishimura* Shrine.  
The *Sho* was performed for the *Sho* of the *Shinsho* *Hanabishi* of the *Shinsho* *Kyoto*,  
and the *Sho* was presided over by the *Shonin* *Shigemitsu* of the *Shonin* *Kyoto*.  
The *Sho* was performed in the *Sho* hall of the *Nishimura* Shrine.  
The *Sho* was performed for the *Sho* of the *Shinsho* *Hanabishi* of the *Shinsho* *Kyoto*,  
and the *Sho* was presided over by the *Shonin* *Shigemitsu* of the *Shonin* *Kyoto*.  
The *Sho* was performed in the *Sho* hall of the *Nishimura* Shrine.  
The *Sho* was performed for the *Sho* of the *Shinsho* *Hanabishi* of the *Shinsho* *Kyoto*,  
and the *Sho* was presided over by the *Shonin* *Shigemitsu* of the *Shonin* *Kyoto*.  
The *Sho* was performed in the *Sho* hall of the *Nishimura* Shrine.  
The *Sho* was performed for the *Sho* of the *Shinsho* *Hanabishi* of the *Shinsho* *Kyoto*,  
and the *Sho* was presided over by the *Shonin* *Shigemitsu* of the *Shonin* *Kyoto*.  
The *Sho* was performed in the *Sho* hall of the *Nishimura* Shrine.  
The *Sho* was performed for the *Sho* of the *Shinsho* *Hanabishi* of the *Shinsho* *Kyoto*,  
and the *Sho* was presided over by the *Shonin* *Shigemitsu* of the *Shonin* *Kyoto*.  
The *Sho* was performed in the *Sho* hall of the *Nishimura* Shrine.  
The *Sho* was performed for the *Sho* of the *Shinsho* *Hanabishi* of the *Shinsho* *Kyoto*,  
and the *Sho* was presided over by the *Shonin* *Shigemitsu* of the *Shonin* *Kyoto*.  
The *Sho* was performed in the *Sho* hall of the *Nishimura* Shrine.

Cuadro 4. Matriz de correlación entre período mínimo de incubación, altura sobre el nivel del mar, temperaturas y precipitación

	$x_1$	$x_2$	$x_3$	$x_4$	$x_5$
$x_1$	1.000	0.996	-0.992	-0.363	-0.094
$x_2$	0.996	1.000	-0.991	-0.356	-0.087
$x_3$	-0.992	-0.991	1.000	0.346	0.057
$x_4$	-0.363	-0.356	0.346	1.000	-0.017
$x_5$	-0.094	-0.087	0.057	-0.017	1.000

donde:

$x_1$  = período mínimo de incubación en días

$x_2$  = elevación en metros sobre el nivel del mar

$x_3$  = temperatura máxima media anual

$x_4$  = temperatura mínima media anual

$x_5$  = precipitación en mm total anual

1. *Alouatta palliata* (Linnaeus) - Brown Howler Monkey  
2. *Alouatta seniculus* (Linnaeus) - Black Howler Monkey  
3. *Alouatta caraya* (Linnaeus) - White-fronted Howler Monkey

4. *Alouatta seniculus* (Linnaeus) - Black Howler Monkey  
5. *Alouatta palliata* (Linnaeus) - Brown Howler Monkey

6. *Alouatta palliata* (Linnaeus) - Brown Howler Monkey  
7. *Alouatta palliata* (Linnaeus) - Brown Howler Monkey

8. *Alouatta palliata* (Linnaeus) - Brown Howler Monkey  
9. *Alouatta palliata* (Linnaeus) - Brown Howler Monkey

10. *Alouatta palliata* (Linnaeus) - Brown Howler Monkey  
11. *Alouatta palliata* (Linnaeus) - Brown Howler Monkey

12. *Alouatta palliata* (Linnaeus) - Brown Howler Monkey  
13. *Alouatta palliata* (Linnaeus) - Brown Howler Monkey

14. *Alouatta palliata* (Linnaeus) - Brown Howler Monkey  
15. *Alouatta palliata* (Linnaeus) - Brown Howler Monkey

16. *Alouatta palliata* (Linnaeus) - Brown Howler Monkey  
17. *Alouatta palliata* (Linnaeus) - Brown Howler Monkey

18. *Alouatta palliata* (Linnaeus) - Brown Howler Monkey  
19. *Alouatta palliata* (Linnaeus) - Brown Howler Monkey

20. *Alouatta palliata* (Linnaeus) - Brown Howler Monkey  
21. *Alouatta palliata* (Linnaeus) - Brown Howler Monkey

22. *Alouatta palliata* (Linnaeus) - Brown Howler Monkey  
23. *Alouatta palliata* (Linnaeus) - Brown Howler Monkey

24. *Alouatta palliata* (Linnaeus) - Brown Howler Monkey  
25. *Alouatta palliata* (Linnaeus) - Brown Howler Monkey

## 2.5 Epochas de muestreo en las localidades de referencia y áreas circunvecinas

La dificultad en obtener datos climatológicos impidió considerar mayor número de localidades de referencia, que sería lo ideal para un trabajo más refinado. Sin embargo creemos que el número de estaciones es suficiente para tener una idea aproximada de la distribución del período de incubación de la dolencia, en la mayor parte de las áreas cafetaleras del país. Un hecho muy saludable demuestra la distribución del período mínimo de incubación de la espora del hongo en un reducido número de meses, como puede apreciarse en los Cuadros 5 y 6.

En el Cuadro 5 se puede apreciar que el período mínimo de incubación se concentra entre 23 y 29 días, lo que demuestra tener una amplitud mucho menor a la de Costa Rica.

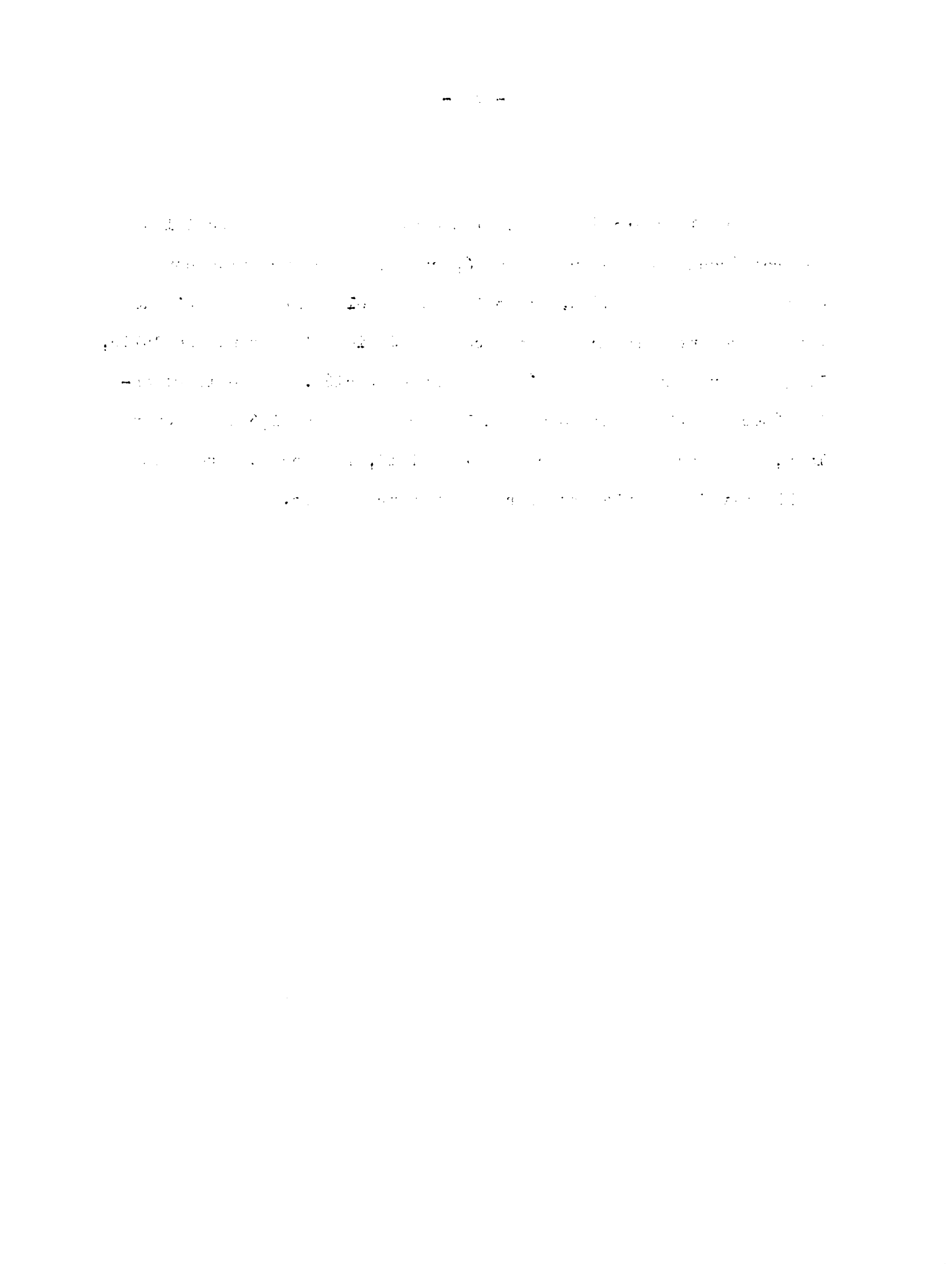
Cuadro 5. Distribución del período mínimo de incubación de la Roya

Límite de clases (días)	Frecuencias
23	0
23 - 26	11
26 - 29	12
29 - 32	1
32	1
total	25

10. The following table shows the number of hours worked by each employee.

ANSWER: The answer is 1000. The total number of students in the school is 1000.

En el Cuadro 6 aparecen las estimaciones de las posibles mejores épocas de muestreo. Las épocas se han distribuido con espaciamientos de 15 días. Esto indica que el muestreo debería de realizarse entre la primera quincena de Junio y la segunda de Julio, lo que da un margen de 45 días para la operación. Desde luego estas épocas están condicionadas a la rigidez de la hipótesis formulada, si se admite una cierta flexibilidad, la época de muestreo en El Salvador podría extenderse a unos tres meses.



Cuadro 6 Epochas de muestreo estimadas para las localidades de referencia

l o c a l i d a d	Junio quincena	Julio quincena	Período mínimo de incubación en días
Santiago de María	la.y 2a.	----	27.4
Izalco	2a.	----	23.6
Chalchuapa	2a.	----	26.2
Atiquizaya	2a.	----	25.5
Beneficio Curazao	2a.	----	24.6
Colon Casa Blanca	2a.	----	25.6
Apopa	2a.	----	23.6
Soyapango	2a.	----	25.5
Molineros	2a.	----	25.2
Finca El Verde	2a.	----	24.3
San Salvador	2a.	----	26.1
Beneficio Montealegre	2a.	la.	66.4
Coatepeque	2a.	la.	27.3
Ahuachapan	2a.	la.	26.5
Tepecoyo	2a.	la.	28.4
Comasagua	2a.	la.	28.8
Finca Altamira	2a.	la.	27.8
Ilopango (aeropuerto)	2a.	la.	25.7
Cojutepeque	2a.	la.	27.1
San Rafael Cedros	2a.	la.	25.9
Finca San Jacinto	2a.	la.	27.3
Santa Ana	2a.	la.	25.9
Los Andes	--	la.	35.7
Finca El Carmen	--	la.	31.4
Santa Tecla	--	la.	28.7



## 2.6 Plan de muestreo para el reconocimiento de la Roya en El Salvador

El método general de muestreo que se propone utilizar en este trabajo y posiblemente en posteriores reconocimientos, es el estratificado por localidades que poseen aproximadamente las mismas épocas de muestreo, es decir la época en que ocurre el período mínimo de incubación. Esto no necesariamente implica que los períodos mínimos de incubación sean similares, sino al contrario, podrían ser diferentes, y de hecho, esto se observa con los valores estimados. Desde luego situaciones como ésta se pueden esperar, ya que el período mínimo de incubación depende más de las condiciones locales reinantes.

### 2.6.1 Reconocimiento inicial

En el primer reconocimiento a llevarse a cabo en El Salvador, se seguirá la estratificación presentada en el Cuadro 7.

#### Cuadro 7. Distribución de las localidades guías por estratos

Epoca de Muestreo quincena	Nº de Localidades guías	Nº de Fincas a muestrear
J 1a. de Junio	1	289
2a. de Junio	10	424
2a. de Junio y 1a. de Julio	11	569
1a. de Julio	3	218
total	25	1500

## DATA FROM THE 1970 AND 1971 CENSUSES

OF THE POPULATION OF THE STATE

OF KENYA

IN ACCORDANCE WITH THE 1970 AND 1971 CENSUSES

OF THE POPULATION OF THE STATE OF KENYA

IN ACCORDANCE WITH THE 1970 AND 1971 CENSUSES

OF THE POPULATION OF THE STATE OF KENYA

IN ACCORDANCE WITH THE 1970 AND 1971 CENSUSES

OF THE POPULATION OF THE STATE OF KENYA

IN ACCORDANCE WITH THE 1970 AND 1971 CENSUSES

OF THE POPULATION OF THE STATE OF KENYA

IN ACCORDANCE WITH THE 1970 AND 1971 CENSUSES

OF THE POPULATION OF THE STATE OF KENYA

IN ACCORDANCE WITH THE 1970 AND 1971 CENSUSES

OF THE POPULATION OF THE STATE OF KENYA

IN ACCORDANCE WITH THE 1970 AND 1971 CENSUSES

OF THE POPULATION OF THE STATE OF KENYA

IN ACCORDANCE WITH THE 1970 AND 1971 CENSUSES

OF THE POPULATION OF THE STATE OF KENYA

IN ACCORDANCE WITH THE 1970 AND 1971 CENSUSES

OF THE POPULATION OF THE STATE OF KENYA

IN ACCORDANCE WITH THE 1970 AND 1971 CENSUSES

OF THE POPULATION OF THE STATE OF KENYA

IN ACCORDANCE WITH THE 1970 AND 1971 CENSUSES

OF THE POPULATION OF THE STATE OF KENYA

La identificación de las localidades a muestrear deberá ser establecida con relación a las localidades guías, ya que no se tiene información directa de ellas. Sin embargo, al encontrarse situada en la vecindad de los puntos de referencia, por la adyacencia de las mismas, podría asumirse que el patrón de comportamiento de los períodos mínimos de incubación fueron similares.

#### 2.6.2 La Unidad Muestral

Teniendo en cuenta el peligro que entraña cualquier finca de café, como un campo receptivo para el hongo, no hay razón de discriminar las pequeñas de las grandes. Por este hecho en este estudio se considera como unidad muestral la finca de café, sea cual fuere su condición.

Como es de esperar, el tamaño de las fincas varía considerablemente, desde las más pulverizadas hasta las más gigantescas, se hace necesario asociar en cierto modo el tamaño de la finca al número de unidades básicas a observar. Por esta razón se piensa en la conveniencia de muestrear dos filas de café, de unas 40 - 100 M de longitud por cada hectárea. Si la propiedad tiene menos de una manzana, se mantendría la dimensión de las filas en 40 - 100 M.

and the number of species per genus. The following table summarizes the data:

Number of Genera	Number of Species
1	10
2	15
3	20
4	25
5	30
6	35
7	40
8	45
9	50
10	55
11	60
12	65
13	70
14	75
15	80
16	85
17	90
18	95
19	100
20	105
21	110
22	115
23	120
24	125
25	130
26	135
27	140
28	145
29	150
30	155
31	160
32	165
33	170
34	175
35	180
36	185
37	190
38	195
39	200
40	205
41	210
42	215
43	220
44	225
45	230
46	235
47	240
48	245
49	250
50	255
51	260
52	265
53	270
54	275
55	280
56	285
57	290
58	295
59	300
60	305
61	310
62	315
63	320
64	325
65	330
66	335
67	340
68	345
69	350
70	355
71	360
72	365
73	370
74	375
75	380
76	385
77	390
78	395
79	400
80	405
81	410
82	415
83	420
84	425
85	430
86	435
87	440
88	445
89	450
90	455
91	460
92	465
93	470
94	475
95	480
96	485
97	490
98	495
99	500
100	505
101	510
102	515
103	520
104	525
105	530
106	535
107	540
108	545
109	550
110	555
111	560
112	565
113	570
114	575
115	580
116	585
117	590
118	595
119	600
120	605
121	610
122	615
123	620
124	625
125	630
126	635
127	640
128	645
129	650
130	655
131	660
132	665
133	670
134	675
135	680
136	685
137	690
138	695
139	700
140	705
141	710
142	715
143	720
144	725
145	730
146	735
147	740
148	745
149	750
150	755
151	760
152	765
153	770
154	775
155	780
156	785
157	790
158	795
159	800
160	805
161	810
162	815
163	820
164	825
165	830
166	835
167	840
168	845
169	850
170	855
171	860
172	865
173	870
174	875
175	880
176	885
177	890
178	895
179	900
180	905
181	910
182	915
183	920
184	925
185	930
186	935
187	940
188	945
189	950
190	955
191	960
192	965
193	970
194	975
195	980
196	985
197	990
198	995
199	1000

### 2.6.3 Tamaño de la muestra

Según nuestras estimaciones, es menester muestrear alrededor de unas 1500 fincas, desde luego no podemos precisar cuantos elementos muestrales (2 hileras de 40 - 100 M) se tomarán en total, ya que esto depende del tamaño de las fincas, pero se estima que en promedio podrían alcanzar de unas 3.500 a 4,500.

### 2.6.4. Procedimientos

Una vez identificadas y agrupadas las fincas en sus respectivos estratos, se procederá a obtener aleatoriamente puntos de la Figura 3. Cada punto representa 30 fincas adyacentes, de los cuales se escoge aleatoriamente la finca que será muestreada. Este procedimiento continua hasta completar las 1500 unidades, muestreadas con sus correspondientes números de elementos de 40 - 100 M.

El muestreo de puntos es relativamente simple, ya que se pueden situar las unidades de muestras por medio de las coordenadas geográficas. Si se contara con una lista de los caficultores, se facilitaría considerablemente el muestreo, ya que podrían obtenerse directamente de la lista las fincas a muestrear.

220

221

222

223

224

225

226

227

228

229

230

231

232

233

234

235

236

237

238

239

240

241

242

243

244

245

246

247

248

249

250

251

252

253

254

255

256

257

258

259

260

261

262

263

264

265

266

267

268

269

270

271

272

273

274

275

276

277

278

279

280

281

282

283

284

285

286

287

288

289

290

291

292

293

294

295

296

297

298

299

300

301

302

303

304

305

306

307

308

309

310

311

312

313

314

315

316

317

318

319

320

321

322

323

324

325

326

327

328

329

330

331

332

333

334

335

336

337

338

339

340

341

342

343

344

345

346

347

348

349

350

351

352

353

354

355

356

357

358

359

360

361

362

363

364

365

366

367

368

369

370

371

372

373

374

375

376

377

378

379

380

381

382

383

384

385

386

387

388

389

390

391

392

393

394

395

396

397

398

399

400

401

402

403

404

405

406

407

408

409

410

411

412

413

414

415

416

417

418

419

420

421

422

423

424

425

426

427

428

429

430

431

432

433

434

435

436

437

438

439

440

441

442

443

444

445

446

447

448

449

450

451

452

453

454

455

456

457

458

459

460

461

462

463

464

465

466

467

468

469

470

471

472

473

474

475

476

477

478

479

480

481

482

483

484

485

486

487

488

489

490

491

492

493

494

495

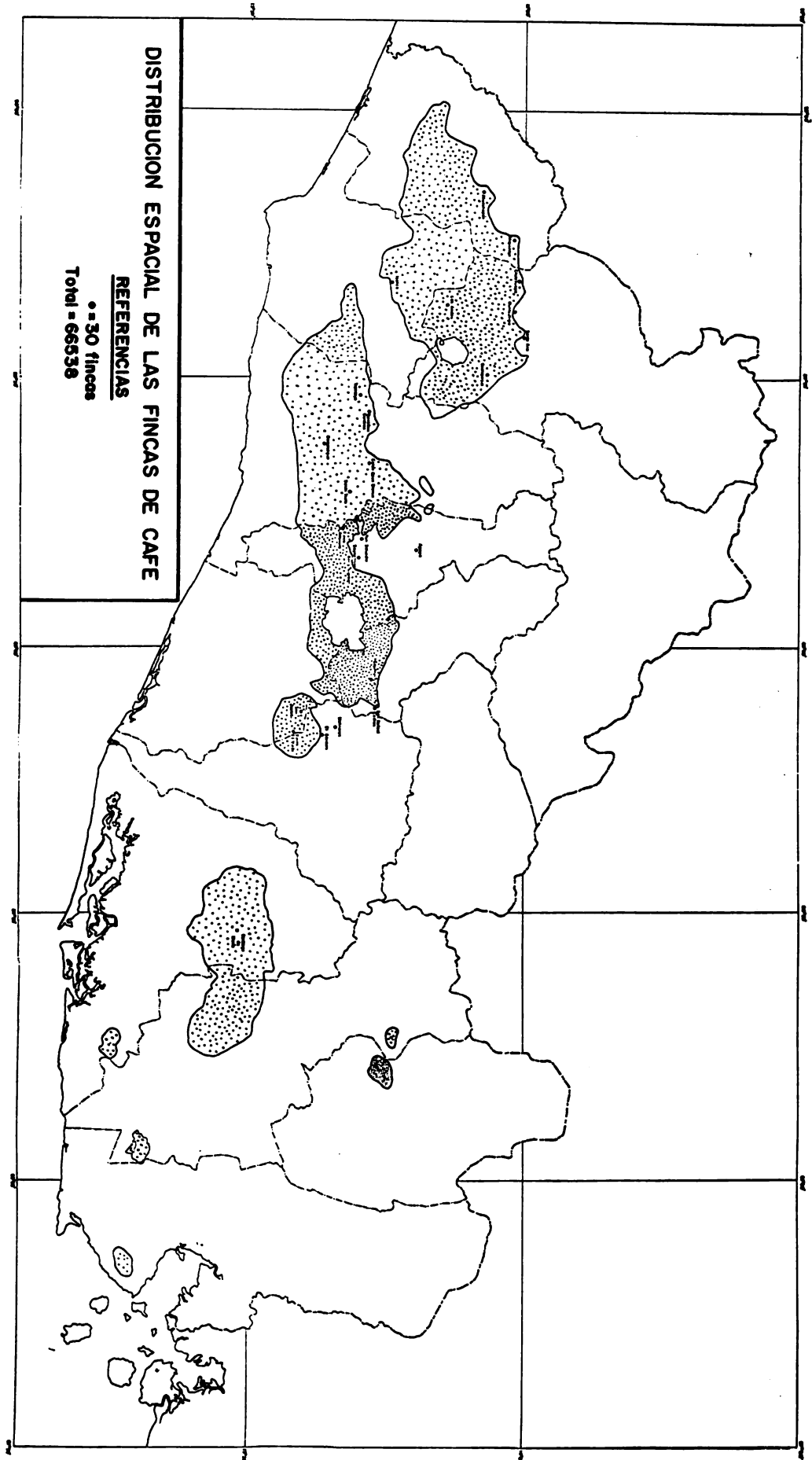
496

497

498

499

500





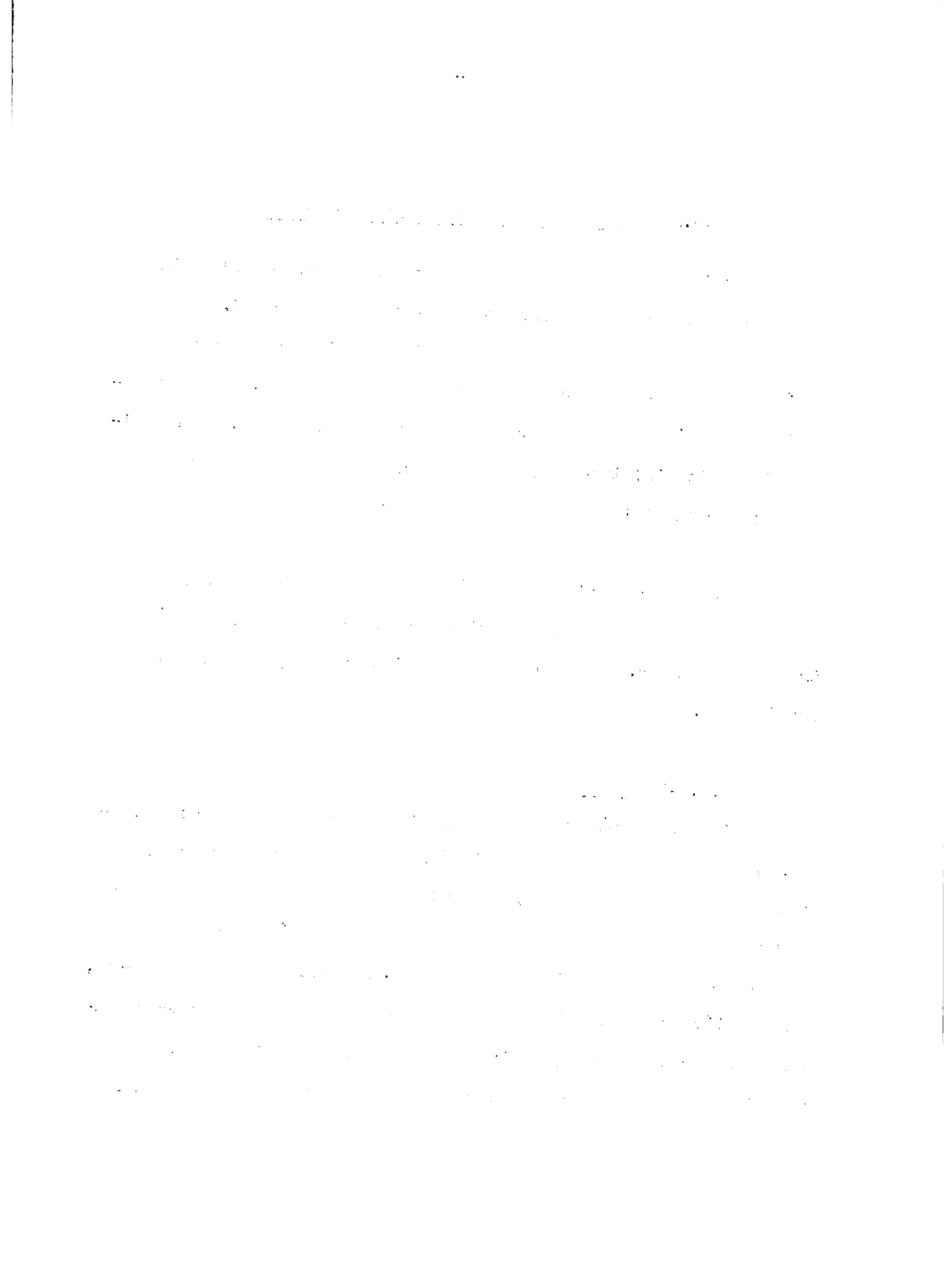
#### 2.6.4.1 Lista de Unidades Muestrales (Frame)

Lo ideal hubiera sido contar con una lista de todas las fincas existentes en el país; que constituyen el "frame". Desafortunadamente no se cuenta con este material en El Salvador, razón por la cual se procederá a muestrear los puntos, y posteriormente en las áreas de 30 fincas que constituye un punto, se identificará una (o más) fincas para la observación. De esta manera se evita tener la lista completa de las fincas.

Queda a criterio de los técnicos (principalmente del fitopatólogo) aumentar la intensidad muestral en cada una de las áreas a muestrear, si existen algunos síntomas sospechosos que lo justifiquen.

#### 2.6.4.2 Inspección

La inspección (reconocimiento) se llevará a cabo con personal previamente entrenado por el técnico del Instituto Salvadoreño de Investigaciones del Café. En primera instancia, se piensa utilizar los servicios de los estudiantes de Agronomía, o los de la Escuela Nacional de Agricultura, que serán entrenados en la materia, por los técnicos del ISIC. Al mismo tiempo que los inspectores realizan el reconocimiento, sería muy conveniente que los capataces y administradores de fincas participen en el proceso, de esta manera



en posteriores reconocimientos se puede utilizar con ventajas el servicio de ellos mismos.

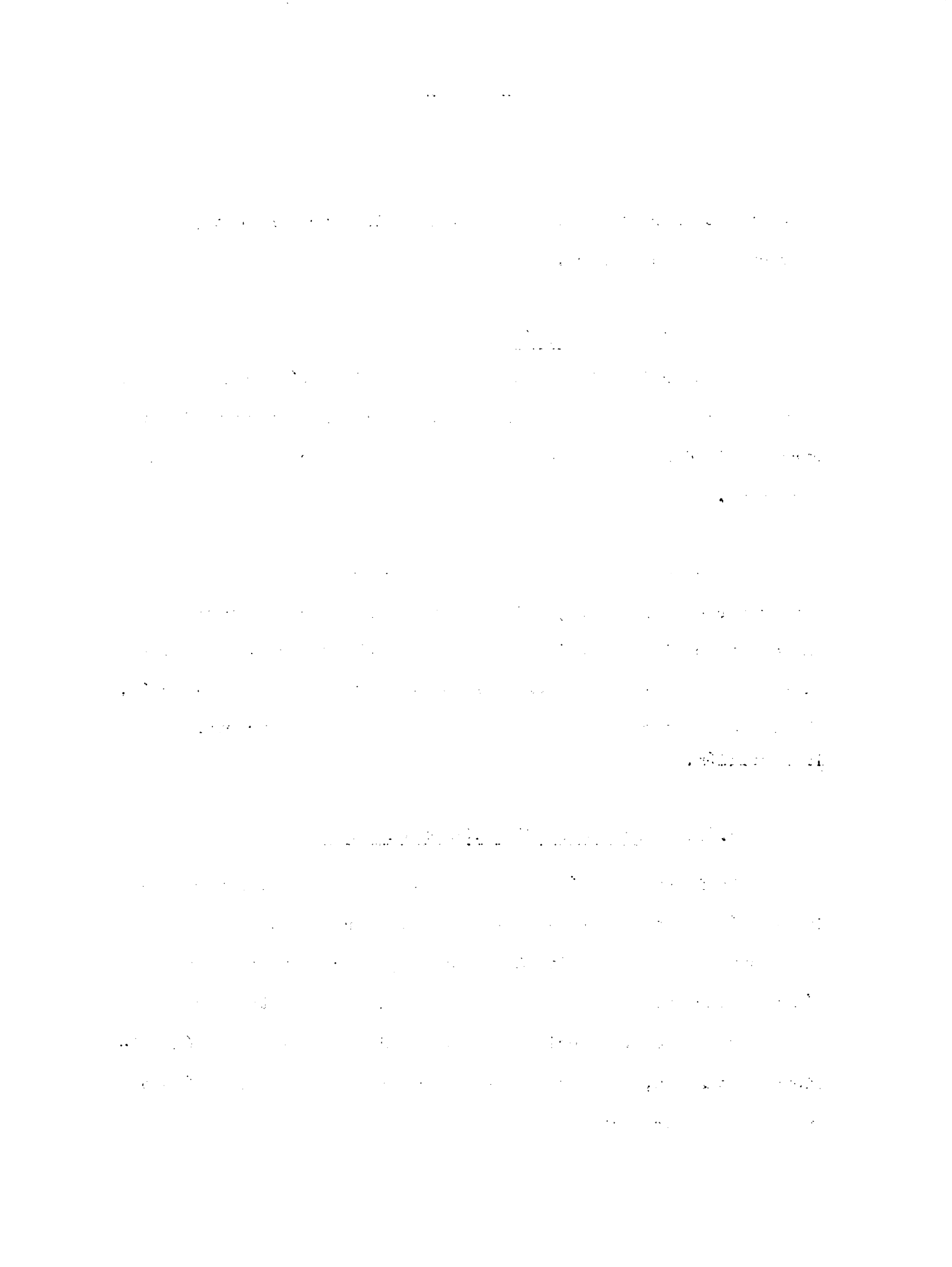
#### 2.6.4.3 Coordinación

La coordinación queda a cargo del Fitopatólogo del ISIC que será asistido por técnicos calificados de la misma institución u otras entidades afines que disponen de personal con la idoneidad requerida.

En cada una de las zonas a muestrear se contará con un supervisor - coordinador, quien se encargará de resolver los problemas que pudieran surgir en el momento del muestreo. Si existieran dudas de los operadores en el momento de la identificación, el Fitopatólogo se hará presente en el lugar para cerciorarse de la situación.

#### 2.6.4.4 La Identificación en el Campo

La identificación en el campo se lleva a cabo por simple inspección ocular. Para garantizar la uniformidad de criterio en el muestreo, se le facilitará a cada inspector un afiche con los síntomas característicos de la enfermedad, y las instrucciones a seguir durante el reconocimiento. Cualquier otra información adicional necesaria, se puede obtener directamente del fitopatólogo encargado del proyecto.



#### 2.6.5 Inspección Continua

Sería recomendable llevar a cabo el reconocimiento periódicamente. Desde luego que se puede seguir el mismo esquema de muestreo planteado para el reconocimiento inicial, pero con una nueva aleatorización de las fincas a muestrear.

En esta etapa del reconocimiento podría reducirse un tanto el tamaño de la muestra, si se piensa proceder en la misma forma que el muestreo inicial. Sin embargo, si consideramos la posibilidad de usar el Servicio de capataces o administradores de fincas para el reconocimiento continuo, el tamaño de la muestra podría permanecer igual, y eventualmente podría

Cualquier otra indicación sobre el tema, puede facilitarla el fitopatólogo del proyecto.

meantime, was taking his time in writing his report, and was very anxious to get it done before the meeting of the Society, as he intended to leave Europe at that time, and it was his wish to be present at the meeting in Paris.

He had written to me at the beginning of January, enclosing a copy of his manuscript, and I had read it through, and found it well worth publishing. I have therefore, by arrangement with Dr. Hartmann, sent it off to the printer, and will send you a copy when it is published.

I will add, however, that I am sorry to learn that Dr. Hartmann has informed you that he is not able to publish the paper in the "Proceedings" of the Society.

I do not know if you have any objection to this, but I will do my best to have it published elsewhere.

I will let you know when it is published.

3. LITERATURA CITADA

1. PAEZ, Gilberto. Método de Reconocimiento de la Roya del Café en Costa Rica. Instituto Interamericano de Ciencias Agrícolas de la OEA. Enero 1971.

the first time in the history of the world, the people of the United States have been compelled to make a choice between two political parties, each of which has a distinct and well-defined platform, and each of which has a definite and well-defined object in view.

4. A P E N D I C E



Cuadro 8. Algunos factores climáticos relacionados con el período de incubación de la Roya. Distribuido por estación de observación

a) Estación : Los Andes

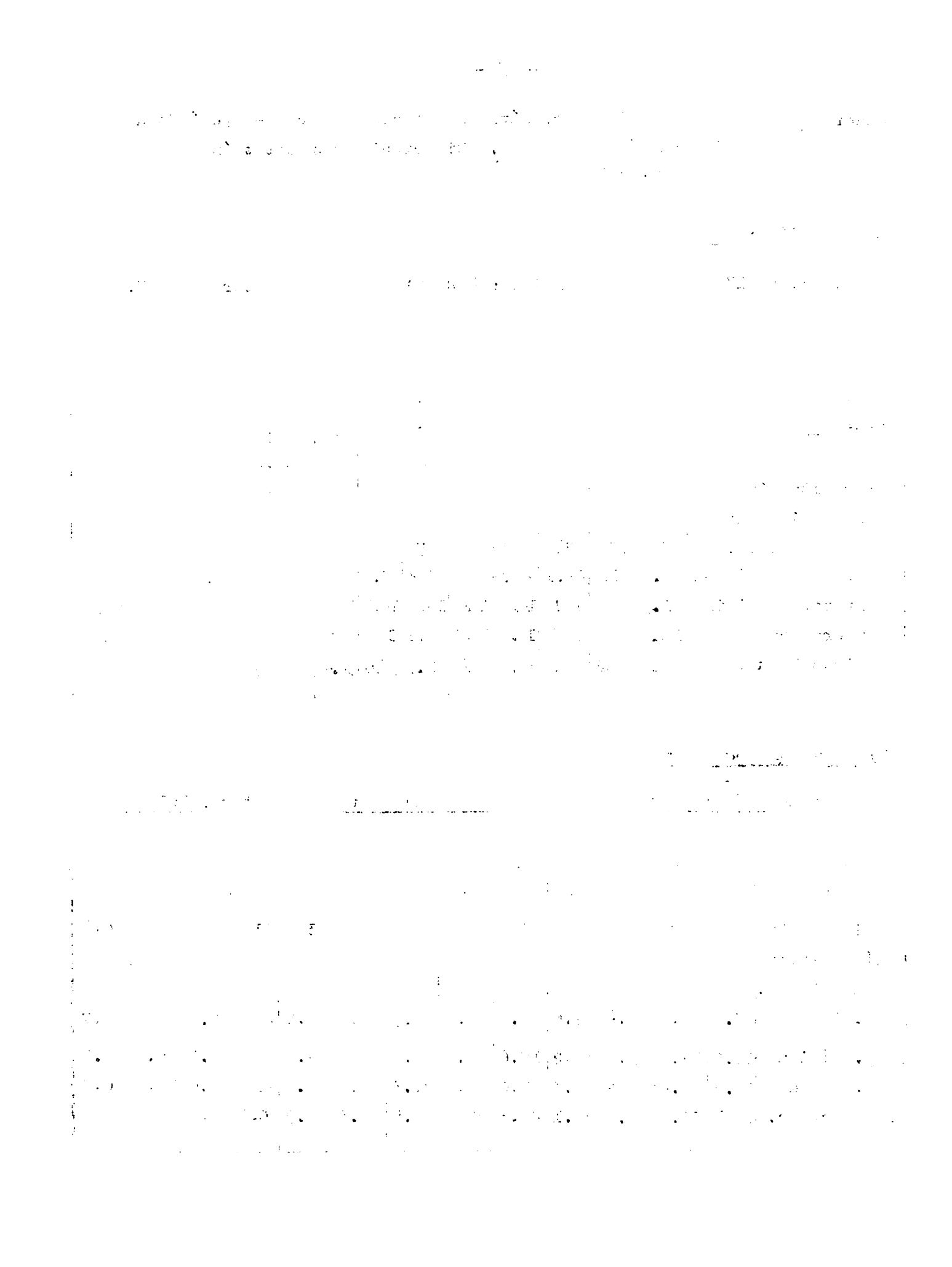
Latitud: 13° 53' N      Longitud: 89° 39' Oeste      Altura 1770 M.

Factores	E	F	M	A	M	J	J	A	S	O	N	D	Año
Precipitación													
Número días Lluvia													
Humedad Relativa	78	73	74	74	80	85	84	84	86	88	87	83	81
Temperatura Máxima	19.5	21.0	22.1	23.0	22.5	21.2	21.5	21.5	20.8	19.9	18.9	19.1	20.9
Temperatura Mínima	11.5	12.4	13.1	14.4	14.6	14.6	14.2	14.3	14.6	13.8	12.8	12.2	13.5
Temperatura Media	14.5	15.7	16.4	17.8	17.7	17.1	17.0	17.0	16.8	15.9	14.9	14.7	16.3
Período Incub.	40.0	38.2	36.9	35.2	35.4	36.3	36.4	36.4	36.6	37.9	39.5	39.8	

b) Estación Comasagua

Latitud: 13° 38' Norte      Longitud: 89° 22' Oeste      Altura: 1010 M

Factores	E	F	M	A	M	J	J	A	S	O	N	D	Año
Precipitación	2	2	4	54	172	373	339	328	384	316	36	4	2014
Nºdías lluvia													
Humedad Relat.													
Temp. Máxima	27.1	28.5	29.4	29.6	28.7	27.2	27.7	27.9	27.0	26.4	26.2	26.6	27.7
Temp. Mínima	14.5	14.9	15.8	17.2	17.6	17.6	17.2	17.3	17.4	17.1	16.0	15.1	16.5
Temp. Media	19.7	20.4	21.4	22.3	22.0	21.2	21.3	21.5	21.0	20.5	20.0	19.7	20.9
Per. Incubac.	32.1	30.7	29.4	28.1	28.5	29.6	29.5	29.3	29.9	30.5	31.6	32.0	



c) Estación: Finca El Carmen

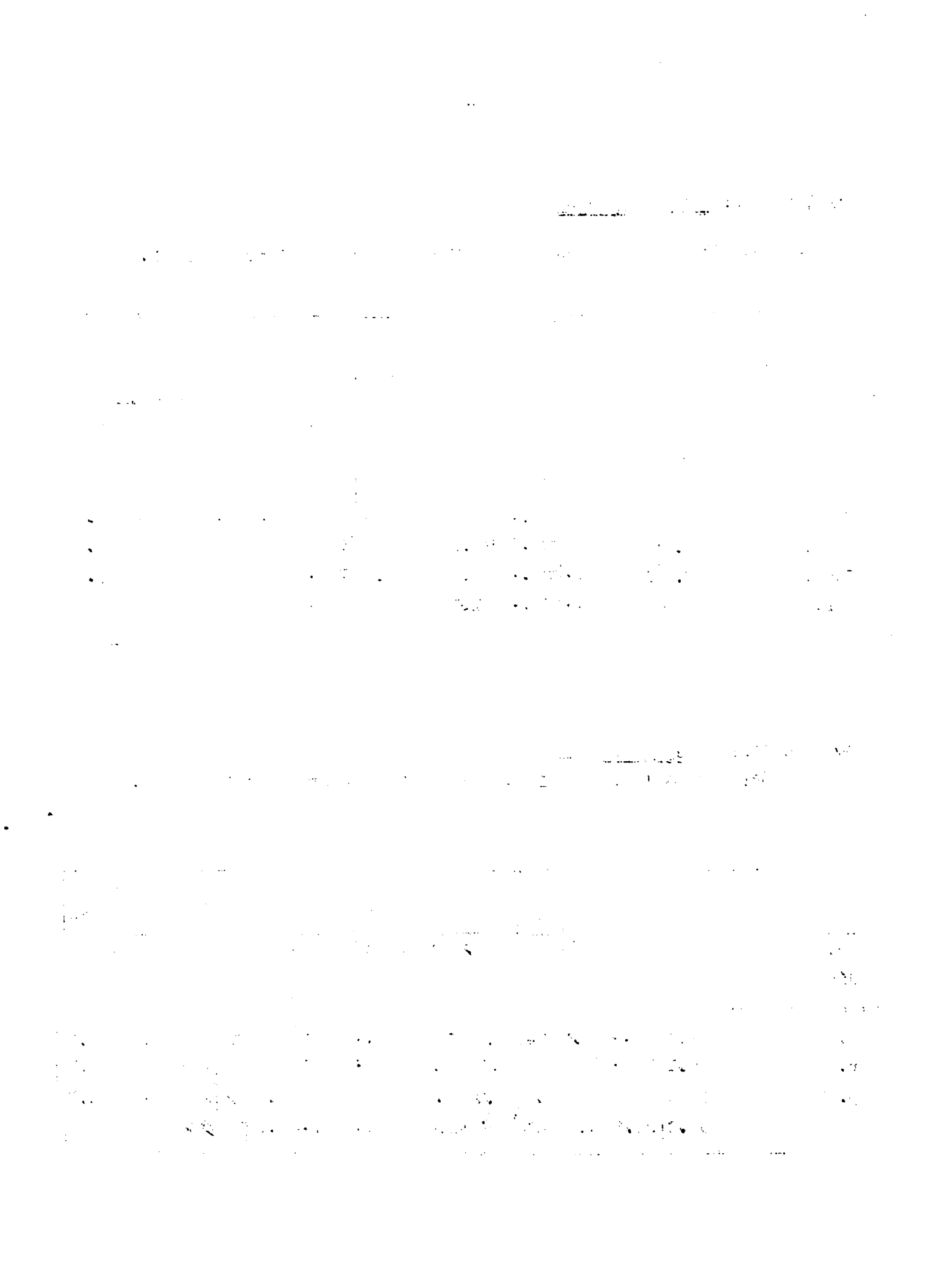
Latitud: 13° 37' N      Longitud: 88° 50' Oeste      Altura 1320 M.

Factores	E	F	M	A	M	J	J	A	S	O	N	D	Anual
Precipitación	4	5	7	65	217	412	342	333	459	332	58	7	2241
Nº días lluvia													
Humedad Relat.													
Temp. Máxima	24.7	26.3	27.3	27.6	26.7	25.3	25.7	26.0	25.2	24.3	23.8	24.2	25.6
Temp. Mínima	13.0	13.4	14.1	15.5	16.1	16.2	15.9	16.0	16.1	15.7	14.6	13.6	15.0
Temp. Media	17.7	18.5	19.4	20.4	20.2	19.6	19.8	19.9	19.4	18.8	18.2	17.9	19.2
Per. Incub.	35.0	35.5	32.3	30.9	31.1	32.1	32.0	31.7	32.2	32.2	34.4	34.9	

d) Estación: Finca Altamira

Latitud: 13° 41' N.      Longitud: 89° 13' Oeste      Altura 890 M.

Factores	E	F	M	A	M	J	J	A	S	O	N	D	Anual
Precipitación	1	3	7	50	172	341	358	330	404	250	30	3	1949
Nº días lluvia													
Humedad Relati.													
Temp. Máxima	28.1	29.4	30.3	30.4	29.5	27.9	28.5	28.7	27.8	27.2	27.1	27.6	28.5
Temp. Mínima	15.1	15.5	16.5	17.8	18.3	18.2	17.8	17.9	18.0	17.7	16.6	15.7	17.1
Temp. Media	20.5	21.2	22.2	23.0	22.8	21.9	22.1	22.2	21.6	21.3	20.8	20.5	21.7
Per. Incub.	30.9	29.6	28.2	27.0	27.3	28.6	28.4	28.2	28.8	29.5	30.4	30.8	



e) Estación: Tepecoyo

Latitud:  $13^{\circ} 43'$  Norte Longitud:  $89^{\circ} 29'$  Oeste Altura 960 M

Factores	E	F	M	A	M	J	J	A	S	O	N	D	Año
Precipitación	4	3	5	65	165	339	356	312	386	227	47	4	1913
Nºdías de lluv.													
Humedad Relat.													
Temp. Máxima	27.5	28.8	29.8	30.0	29.0	27.5	28.0	28.2	27.4	26.7	26.6	27.0	28.0
Temp. Mínima	14.8	15.2	16.1	17.4	17.9	17.8	17.5	17.6	17.7	17.4	16.2	15.4	16.8
Temp. Media	20.0	20.7	21.7	22.6	22.4	21.5	21.7	21.8	21.2	20.9	20.4	20.1	21.3
Per. Incub.	31.6	30.3	28.8	27.7	28.0	29.2	29.0	28.8	29.3	30.1	31.1	31.4	

f) Estación: Finca San Jacinto

Latitud:  $13^{\circ} 36'$  Norte Longitud:  $88^{\circ} 53'$  Oeste Altura: 840 M

Factores	E	F	M	A	M	J	J	A	S	O	N	D	Año
Precipitación	1	5	8	69	199	440	323	292	468	339	62	9	2215
Nºdías lluv.													
Humedad Rel.													
Temp. Máxima	28.5	29.7	30.6	30.8	29.9	28.2	28.8	29.0	28.1	27.6	27.5	28.0	28.9
Temp. Mínima	15.4	15.8	16.8	18.1	18.5	18.4	18.1	18.2	18.2	18.0	16.8	16.0	17.4
Temp. Media	20.8	21.5	22.5	23.4	23.1	22.2	22.3	22.4	21.9	21.6	21.1	20.8	22.0
Per. Incub.	30.3	29.1	27.7	26.5	26.9	28.2	28.0	27.8	28.4	28.9	30.0	30.2	

ANSWER

TO YOUR QUESTIONS

QUESTION

ANSWER

g) Estación: Coatepeque (Congo)

Latitud: 13°55' Norte Longitud: 89° 30' Oeste Altura 840 M

Factores	E	F	M	A	M	J'	J	A	S	O	N	D'	Año
Precipitac.	2	1	6	53	197	329	310	303	320	194	30	6	1751
Nºdías lluvia													
Humedad Relat.													
Temp. Máxima	28.5	29.7	30.6	30.8	29.9	28.2	28.8	29.0	28.1	27.6	27.5	28.0	28.9
Temp. Mínima	15.4	15.8	16.8	18.1	18.5	18.4	18.1	18.2	18.2	18.0	16.8	16.0	17.4
Temp. Media	20.8	21.5	22.5	23.4	23.1	22.2	22.3	22.4	21.9	21.6	21.1	20.8	22.0
Per. Incub	30.3	29.1	28.0	26.5	26.9	28.2	28.0	27.8	28.4	28.9	30.0	30.2	

h) Estación: Beneficio Montealegre

Latitud 13° 59' Norte Longitud: 89° 38' Oeste Altura: 740 M

Factores	E	F	M	A	M	J	J	A	S	O	N	D	Año
Precipitac.	4	2	7	80	237	358	404	338	408	243	54	10	2145
Nºdías lluv.													
Humedad Rel.													
Temp. Máxima	29.3	30.5	31.4	31.5	30.5	28.9	29.5	29.7	28.8	28.3	28.3	28.8	29.6
Temp. Mínima	15.9	16.3	17.3	18.7	19.1	18.9	18.6	18.6	18.7	18.4	17.3	16.5	17.8
Temp. Media	21.5	22.2	23.2	24.0	23.7	22.8	22.9	23.0	22.4	22.2	21.8	21.5	22.6
Per. Incubac.	29.4	28.2	26.7	25.5	25.9	27.3	27.1	26.9	27.5	28.1	29.0	29.3	

1930 - 1931 - 1932 - 1933

1930 - 1931 - 1932 - 1933

1930 - 1931 - 1932 - 1933

1930 - 1931 - 1932 - 1933

1930 - 1931 - 1932 - 1933

1930 - 1931 - 1932 - 1933

1930 - 1931 - 1932 - 1933

1930 - 1931 - 1932 - 1933

1930 - 1931 - 1932 - 1933

1930 - 1931 - 1932 - 1933

1930 - 1931 - 1932 - 1933

1930 - 1931 - 1932 - 1933

1930 - 1931 - 1932 - 1933

1930 - 1931 - 1932 - 1933

1930 - 1931 - 1932 - 1933

i) Estación: Cojutepeque

Latitud: 13° 43' Norte Longitud: 88° 56' Oeste Altura 810 M

Factores	E	F	M	A	M	J	J	A	S	O	N	D	Año
Precipitación	3	3	8	46	197	374	380	347	373	266	44	8	2049
Nº días lluvia													
Humedad Relat.													
Temp. Máxima	28.8	30.0	30.9	31.0	30.1	28.4	29.0	29.2	28.3	27.8	27.8	28.3	29.1
Temp. Mínima	15.5	16.0	16.9	18.3	18.7	18.6	18.2	18.3	18.4	18.1	17.0	16.1	17.5
Temp. Media	21.0	21.7	22.7	23.6	23.3	22.4	22.5	22.6	22.0	21.7	21.3	21.0	22.2
Per. Incubac.	30.0	28.8	27.4	26.2	26.6	27.9	27.8	27.5	28.1	28.7	29.6	29.9	

j) Estación: Chalchuapa

Latitud: 13° 59' Norte Longitud: 89° 41' Oeste Altura: 705 M

Factores	E	F	M	A	M	J	J	A	S	O	N	D	Año
Precipitación	2	4	4	49	210	386	331	338	395	208	35	14	1976
Nº días lluv.													
Humedad Relat.													
Temp. Máxima	30.2	30.8	31.6	31.7	30.8	29.1	29.9	29.9	29.0	28.5	28.6	29.1	29.9
Temp. Mínima	16.1	16.5	17.5	18.9	19.3	19.1	18.7	18.8	18.9	18.6	17.5	16.7	18.0
Temp. Media	21.8	22.4	24.0	24.2	23.9	23.0	23.2	23.2	22.6	22.4	22.0	21.7	22.9
Per. Incubac.	28.5	27.8	26.4	25.2	25.6	27.0	26.9	26.6	27.2	27.8	28.6	28.9	

1. MARCH 1944 - 2. APRIL 1944

10. The following table shows the number of hours worked by each employee in a company.

1. *Chlorophytum comosum* L. (Liliaceae) - *Chlorophytum comosum* L. (Liliaceae)

10. The following table gives the number of hours worked by each of the 100 workers.

1. The following table gives the number of cases of smallpox reported in each State during the year 1802.

2011-12-10

10. The following table shows the number of hours worked by each employee.

k) Estación: Ahuachapán

Latitud: 13° 56' Norte Longitud: 89° 51' Oeste Altura 750 M

Factores	E	F	M	A	M	J	J	A	S	O	N	D	Año
Precipitación	2	2	33	42	168	365	358	338	388	218	31	7	1922
Nº días lluvia													
Humedad Relat.													
Temp. Máxima	29.3	30.4	31.3	31.4	30.5	28.8	29.4	29.6	28.7	28.2	28.2	28.8	29.6
Temp. Mínima	15.8	16.3	17.3	18.6	19.0	18.9	18.5	18.6	18.7	18.4	17.3	16.4	17.8
Temp. Media	21.4	22.1	23.1	23.9	23.7	22.7	22.8	23.0	22.4	22.1	21.7	21.4	22.6
Per. Incumb.	29.4	28.2	26.8	25.7	26.0	27.4	27.2	27.0	27.6	28.2	29.1	29.3	

l) Estación: San Rafael Cedros

Latitud: 13° 45' Norte Longitud: 88° 53' Oeste Altura: 680 M

Factores	E	F	M	A	M	J	J	A	S	O	N	D	Año
Precipitación	4	4	8	48	211	373	356	328	374	253	47	5	2011
Nº días lluvia													
Humedad Relat.													
Temp. Máxima	29.8	30.9	31.8	31.9	31.0	29.3	29.9	30.1	29.2	28.7	28.8	29.3	30.0
Temp. Mínima	16.2	16.6	17.7	19.0	19.4	19.2	18.9	18.9	19.0	18.7	17.6	16.8	18.2
Temp. Media	21.9	22.6	23.6	24.4	24.1	23.1	23.2	23.3	22.8	22.5	22.2	21.9	23.0
Per. Incubac.	28.8	27.6	26.1	25.0	25.3	26.7	26.5	26.4	27.0	27.6	28.4	28.6	

EXPLANATION OF TESTS

TESTS FOR THE DETERMINATION OF THE VARIOUS SUBSTANCES

The following tests are used for the determination of the various substances:

- 1. **Acidity.** Acidity is determined by titration with 1 N NaOH. The titration is stopped when the pH reaches 7.0. The volume of NaOH required is recorded as the acid value. The acid value is converted to titratable acidity using the following formula:
$$\text{Titratable Acidity} = \frac{\text{Titration Volume} \times \text{Concentration}}{1000}$$
- 2. **Benzene.** Benzene is determined by the A.O.A.C. method. The sample is extracted with hexane and the benzene is measured by titration with 1 N NaOH. The volume of NaOH required is recorded as the benzene value.
- 3. **Cadmium.** Cadmium is determined by atomic absorption spectrometry. The sample is digested with HCl and the cadmium is measured by atomic absorption spectrometry. The concentration of cadmium is recorded as the cadmium value.
- 4. **Chloride.** Chloride is determined by titration with 1 N AgNO<sub>3</sub>. The titration is stopped when a white precipitate of AgCl is formed. The volume of AgNO<sub>3</sub> required is recorded as the chloride value.
- 5. **Copper.** Copper is determined by atomic absorption spectrometry. The sample is digested with HCl and the copper is measured by atomic absorption spectrometry. The concentration of copper is recorded as the copper value.
- 6. **Dissolved Oxygen.** Dissolved oxygen is determined by the Winkler method. The sample is titrated with 1 N NaO<sub>2</sub> and the volume of NaO<sub>2</sub> required is recorded as the dissolved oxygen value.
- 7. **Fatty Acids.** Fatty acids are determined by titration with 1 N NaOH. The titration is stopped when the pH reaches 7.0. The volume of NaOH required is recorded as the fatty acid value.
- 8. **Iron.** Iron is determined by atomic absorption spectrometry. The sample is digested with HCl and the iron is measured by atomic absorption spectrometry. The concentration of iron is recorded as the iron value.
- 9. **Magnesium.** Magnesium is determined by atomic absorption spectrometry. The sample is digested with HCl and the magnesium is measured by atomic absorption spectrometry. The concentration of magnesium is recorded as the magnesium value.
- 10. **Nitrate.** Nitrate is determined by titration with 1 N NaOH. The titration is stopped when the pH reaches 7.0. The volume of NaOH required is recorded as the nitrate value.
- 11. **Potassium.** Potassium is determined by atomic absorption spectrometry. The sample is digested with HCl and the potassium is measured by atomic absorption spectrometry. The concentration of potassium is recorded as the potassium value.
- 12. **Sulfate.** Sulfate is determined by titration with 1 N BaCl<sub>2</sub>. The titration is stopped when a white precipitate of BaSO<sub>4</sub> is formed. The volume of BaCl<sub>2</sub> required is recorded as the sulfate value.
- 13. **Urea.** Urea is determined by titration with 1 N NaOH. The titration is stopped when the pH reaches 7.0. The volume of NaOH required is recorded as the urea value.

TESTS FOR THE DETERMINATION OF THE VARIOUS SUBSTANCES

The following tests are used for the determination of the various substances:

- 1. **Acidity.** Acidity is determined by titration with 1 N NaOH. The titration is stopped when the pH reaches 7.0. The volume of NaOH required is recorded as the acid value. The acid value is converted to titratable acidity using the following formula:
$$\text{Titratable Acidity} = \frac{\text{Titration Volume} \times \text{Concentration}}{1000}$$
- 2. **Benzene.** Benzene is determined by the A.O.A.C. method. The sample is extracted with hexane and the benzene is measured by titration with 1 N NaOH. The volume of NaOH required is recorded as the benzene value.
- 3. **Cadmium.** Cadmium is determined by atomic absorption spectrometry. The sample is digested with HCl and the cadmium is measured by atomic absorption spectrometry. The concentration of cadmium is recorded as the cadmium value.
- 4. **Chloride.** Chloride is determined by titration with 1 N AgNO<sub>3</sub>. The titration is stopped when a white precipitate of AgCl is formed. The volume of AgNO<sub>3</sub> required is recorded as the chloride value.
- 5. **Copper.** Copper is determined by atomic absorption spectrometry. The sample is digested with HCl and the copper is measured by atomic absorption spectrometry. The concentration of copper is recorded as the copper value.
- 6. **Dissolved Oxygen.** Dissolved oxygen is determined by the Winkler method. The sample is titrated with 1 N NaO<sub>2</sub> and the volume of NaO<sub>2</sub> required is recorded as the dissolved oxygen value.
- 7. **Fatty Acids.** Fatty acids are determined by titration with 1 N NaOH. The titration is stopped when the pH reaches 7.0. The volume of NaOH required is recorded as the fatty acid value.
- 8. **Iron.** Iron is determined by atomic absorption spectrometry. The sample is digested with HCl and the iron is measured by atomic absorption spectrometry. The concentration of iron is recorded as the iron value.
- 9. **Magnesium.** Magnesium is determined by atomic absorption spectrometry. The sample is digested with HCl and the magnesium is measured by atomic absorption spectrometry. The concentration of magnesium is recorded as the magnesium value.
- 10. **Nitrate.** Nitrate is determined by titration with 1 N NaOH. The titration is stopped when the pH reaches 7.0. The volume of NaOH required is recorded as the nitrate value.
- 11. **Potassium.** Potassium is determined by atomic absorption spectrometry. The sample is digested with HCl and the potassium is measured by atomic absorption spectrometry. The concentration of potassium is recorded as the potassium value.
- 12. **Sulfate.** Sulfate is determined by titration with 1 N BaCl<sub>2</sub>. The titration is stopped when a white precipitate of BaSO<sub>4</sub> is formed. The volume of BaCl<sub>2</sub> required is recorded as the sulfate value.
- 13. **Urea.** Urea is determined by titration with 1 N NaOH. The titration is stopped when the pH reaches 7.0. The volume of NaOH required is recorded as the urea value.

m) Estación: San Salvador

Latitud: 13° 42' Norte Longitud: 89° 12' Oeste Altura: 700 M

Factores	E	F	M	A	M	J	J	A	S	O	N	D	Año
Precipitación	5	5	9	54	184	318	313	295	317	232	39	10	1781
Nºdías lluvia													
Humedad Relat.													
Temp. Máxima	29.6	31.0	32.2	32.4	31.2	29.7	30.0	30.1	29.4	28.7	28.4	28.8	30.1
Temp. Mínima	15.9	15.9	17.2	18.5	18.9	18.8	18.2	18.4	18.6	18.4	17.4	16.4	17.7
Temp. Media	22.0	22.5	23.7	24.3	23.9	23.0	23.0	23.0	22.6	22.5	22.2	21.9	22.9
Per. Incubación	29.1	28.1	26.2	25.0	25.6	26.8	27.0	27.0	27.2	27.8	28.8	29.3	

n) Estación: Soyapango

Latitud: 13° 42' Norte Longitud: 89° 08' Oeste Altura: 650 M

Factores	E	F	M	A	M	J	J	A	S	O	N	D	Año
Precipitación	4	2	7	52	175	338	337	303	360	246	40	7	1871
Nºdías lluvia													
Humedad Relat.													
Temp. Máxima	30.3	31.4	32.2	32.3	31.3	29.6	30.2	30.4	29.5	29.1	29.2	29.8	30.4
Temp. Mínima	16.5	16.9	18.0	19.4	19.7	19.5	19.1	19.2	19.2	19.0	17.9	17.1	18.5
Temp. Media	22.3	22.9	24.0	24.8	24.4	23.4	23.5	23.6	23.0	22.8	22.5	22.2	23.3
Per. Incubac.	28.2	27.0	25.6	24.4	24.9	26.3	26.2	25.9	26.6	27.0	27.8	28.0	

• 13 •

• 11 •

10

e) Estación: Colon Casa Blanca

Latitud: 13° 43' Norte Longitud: 89° 21' Oeste Altura: 650 M

Factores	E	F	M	A	M	J	J	A	S	O	N	D	Año
Precipitación	3	6	9	78	184	295	307	286	340	228	45	6	1787
Nºdías lluvia													
Humedad Relat.													
Temp. Máxima	30.1	31.2	32.0	32.1	31.2	29.4	30.1	30.3	29.3	28.9	29.0	29.6	30.3
Temp. Mínima	16.4	16.8	17.9	19.2	19.6	19.4	19.0	19.1	19.1	18.9	17.7	16.9	18.3
Temp. Media	22.1	22.8	23.8	24.6	24.3	23.3	23.4	23.5	22.9	22.7	22.3	22.1	23.2
Per. Incubac.	28.4	27.3	25.8	24.7	25.0	26.5	26.3	26.1	26.8	27.3	28.2	28.4	

p) Estación: Ilopango (Aeropuerto)

Latitud: 13° 42' Norte Longitud: 89° 07' Oeste Altura 615 M

Factores	E	F	M	A	M	J	J	A	S	O	N	D	Año
Precipitación	2	4	7	53	166	281	346	307	341	265	34	8	1814
Nºdías lluvia													
Humedad Relat.													
Temp. Máxima	30.5	31.2	32.1	32.2	31.1	29.4	30.6	30.5	29.4	29.1	29.1	29.6	30.4
Temp. Mínima	16.1	16.2	17.2	18.8	19.5	19.4	18.8	18.8	19.0	18.8	17.6	16.6	18.1
Temp. Media	22.1	22.6	23.6	24.3	24.0	23.1	23.1	23.2	22.8	22.6	22.2	21.8	23.0
Per. Incubac.	28.3	27.7	26.3	24.9	25.2	26.5	26.1	26.2	26.8	27.2	28.2	28.6	

1. What is the name of the author?  
John Milton  
2. What is the title of the work?  
Paradise Lost  
3. What is the date of publication?  
1667  
4. What is the genre?  
Mythological epic  
5. What is the main theme?  
The struggle between good and evil  
6. What are the major characters?  
Adam, Eve, Lucifer, God, Satan, Raphael  
7. What is the setting?  
Heaven, Hell, Earth, Garden of Eden  
8. What is the plot summary?  
The story follows the fall of Lucifer and his rebellion against God, followed by the creation of Adam and Eve in the Garden of Eden, their subsequent temptation by Satan, and their subsequent expulsion from the garden.  
9. What is the style of writing?  
Poetic, narrative, descriptive  
10. What is the historical context?  
The work was written during the English Civil War and the English Restoration, reflecting the religious and political conflicts of the period.

q) Estación: Atiquizaya

Latitud: 13° 58' Norte Longitud: 89° 45' Oeste Altura: 630 M

Factores	E	F	M	A	M	J	J	A	S	O	N	D	Año
Precipitación	1	3	3	45	178	329	305	298	346	204	28	7	1747
Nºdías lluvia													
Humedad Relat.													
Temp. Máxima	30.3	31.3	32.2	32.3	31.3	29.6	30.2	30.4	29.5	29.1	29.2	29.7	30.4
Temp. Mínima	16.5	16.9	18.0	19.3	19.7	19.4	19.1	19.2	19.2	19.0	17.8	17.1	18.4
Temp. Media	22.3	22.9	24.0	24.7	24.4	23.4	23.5	23.6	23.0	22.8	22.5	22.2	23.3
Per. Incubac.	28.2	27.1	25.6	24.5	24.9	26.4	26.2	25.9	26.6	27.1	27.9	28.1	

r) Estación: Beneficio Curazao

Latitud: 13° 43' Norte Longitud: 89° 26' Oeste Altura: 530 M

Factores	E	F	M	A	M	J	J	A	S	O	N	D	Año
Precipitación	6	2	10	66	221	343	344	301	381	188	33	10	1905
Nºdías lluvia													
Humedad Relat.													
Temp. Máxima	31.1	32.1	32.9	33.0	32.0	30.2	30.9	31.1	30.1	29.8	30.0	30.6	31.2
Temp. Mínima	17.0	17.4	18.6	19.9	20.2	19.9	19.6	19.7	19.7	19.5	18.3	17.6	19.0
Temp. Media	23.0	23.6	24.6	25.4	25.0	23.9	24.1	24.1	23.6	23.4	23.1	22.9	23.9
Per. Incubac.	27.2	26.1	24.6	23.5	24.0	25.5	25.3	25.0	25.8	26.1	26.9	27.1	

100 - 1000

100 - 1000

100 - 1000

100 - 1000

100 - 1000

100 - 1000

100 - 1000

100 - 1000

100 - 1000

100 - 1000

s) Estación: Molineros

Latitud: 13° 39' Norte Longitud: 88° 52' Oeste Altura: 600 M

Factores	E	F	M	A	M	J	J	A	S	O	N	D	Año
Precipitación	6	7	7	53	171	309	327	288	359	254	52	7	1840
Nºdías lluvia													
Humedad Relat.													
Temp. Máxima	30.5	31.5	32.4	32.5	31.5	29.8	30.4	30.6	29.7	29.3	29.4	30.0	30.6
Temp. Mínima	16.6	17.0	18.1	19.5	19.8	19.6	19.2	19.3	19.4	19.1	18.0	17.2	18.6
Temp. Media	22.5	23.1	24.2	24.9	24.6	23.5	23.7	23.8	23.2	23.0	22.7	22.4	23.5
Per. Incubac.	27.9	26.9	25.3	24.2	24.6	26.1	25.9	25.7	26.3	26.8	27.6	27.8	

t) Estación: Apopa

Latitud: 13° 49' Norte Longitud: 89° 10' Oeste Altura: 420 M

Factores	E	F	M	A	M	J	J	A	S	O	N	D	Año
Precipitación	4	4	10	63	216	342	360	346	364	22	36	8	1779
Nºdías lluvia													
Humedad Relat.													
Temp. Máxima	32.0	32.9	33.7	33.7	32.7	30.9	31.6	31.8	30.8	30.6	30.9	31.5	31.9
Temp. Mínima	17.6	18.0	19.2	20.5	20.8	20.5	20.1	20.2	20.2	20.0	18.8	18.1	19.5
Temp. Media	23.7	24.3	25.4	26.1	25.7	24.6	24.7	24.8	24.2	24.0	23.8	23.6	24.6
Per. Incubac.	26.0	25.1	23.5	22.5	23.0	24.5	24.3	24.1	24.8	25.2	25.9	26.0	

1. What is your name?

John Smith

2. What is your address?  
123 Main Street, Anytown, USA

3. What is your age?  
25 years old

4. What is your sex?  
Male

5. What is your race?  
White

6. What is your religion?  
Christian

7. What is your education level?  
High School Graduate

8. What is your occupation?  
Software Engineer

9. What is your marital status?  
Single

10. What is your political affiliation?  
Independent

11. What is your favorite hobby?  
Gardening

12. What is your favorite food?  
Italian cuisine

13. What is your favorite movie?  
The Godfather

14. What is your favorite book?  
The Great Gatsby

15. What is your favorite sport?  
Football

16. What is your favorite color?  
Blue

v) Estación: Finca El Verde

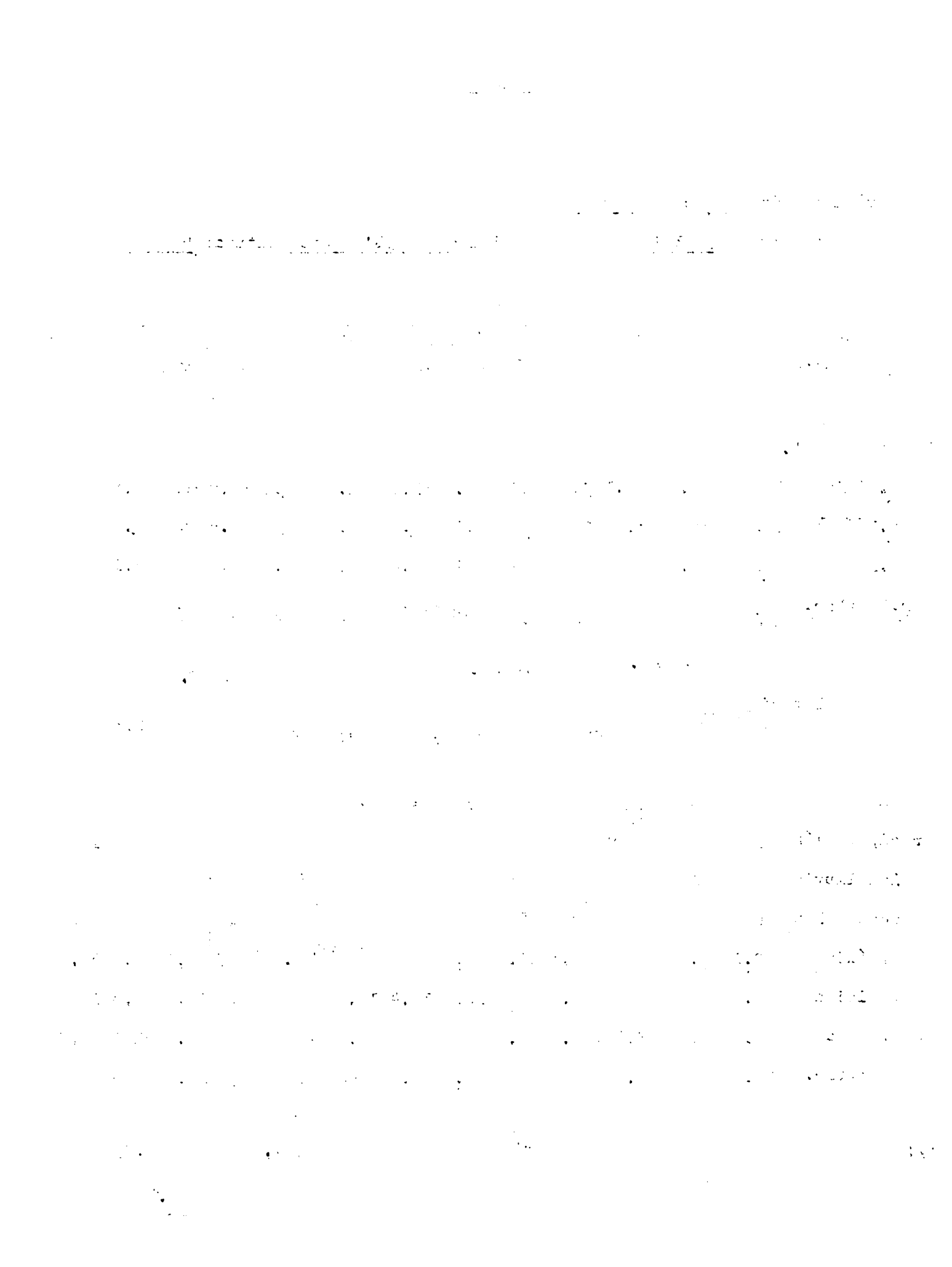
Latitud: 13° 35' Norte Longitud: 88° 51' Oeste Altura: 500 M

Factores	E	F	M	A	M	J.	J	A	S	O	N	D	Anual
Precipitación	2	7	10	82	227	410	354	324	478	408	76	8	2386
Nºdías lluvia													
Humedad Relat.													
Temp. Máxima	31.3	32.3	33.1	33.2	32.2	30.4	31.1	31.3	30.3	30.0	302	30.8	31.4
Temp. Mínima	17.2	17.6	18.7	20.1	20.4	20.1	19.7	19.8	19.8	19.6	185	17.7	19.1
Temp. Media	23.2	23.8	24.8	25.6	25.2	24.1	24.2	24.3	23.7	23.6	23.3	23.1	24.1
Per. Incubac.	26.9	25.8	24.4	23.2	23.7	25.2	25.0	24.8	25.5	25.9	26.6	26.8	

w) Estación: Santa Ana

Latitud: 14° 00' Norte Longitud: 89° 34' Oeste Altura: 725 M

Factores	E	F	M	A	M	J	J	A	S	O	N	D	Anual
Precipitación	1	2	7	68	219	333	333	324	369	193	32	5	1886
Nºdías lluvia	0	1	1	5	13	19	20	18	18	13	3	1	
Humedad Relat.	64	64	62	66	72	81	76	77	81	78	71	68	72
Temp. Máxima	30.1	31.6	32.8	32.8	31.6	29.5	30.1	30.2	29.5	29.3	29.0	29.5	30.5
Temp. Mínima	15.9	15.8	17.1	18.4	18.9	18.8	18.4	18.7	18.8	18.5	17.6	16.4	17.8
Temp. Media	21.6	22.3	23.4	24.2	23.9	22.8	23.0	23.0	22.6	22.5	22.0	21.5	22.7
Per. Incubac.	28.8	27.8	25.8	24.8	25.3	26.9	26.8	26.5	26.9	27.3	28.2	28.8	



x) Estación: Santa Tecla

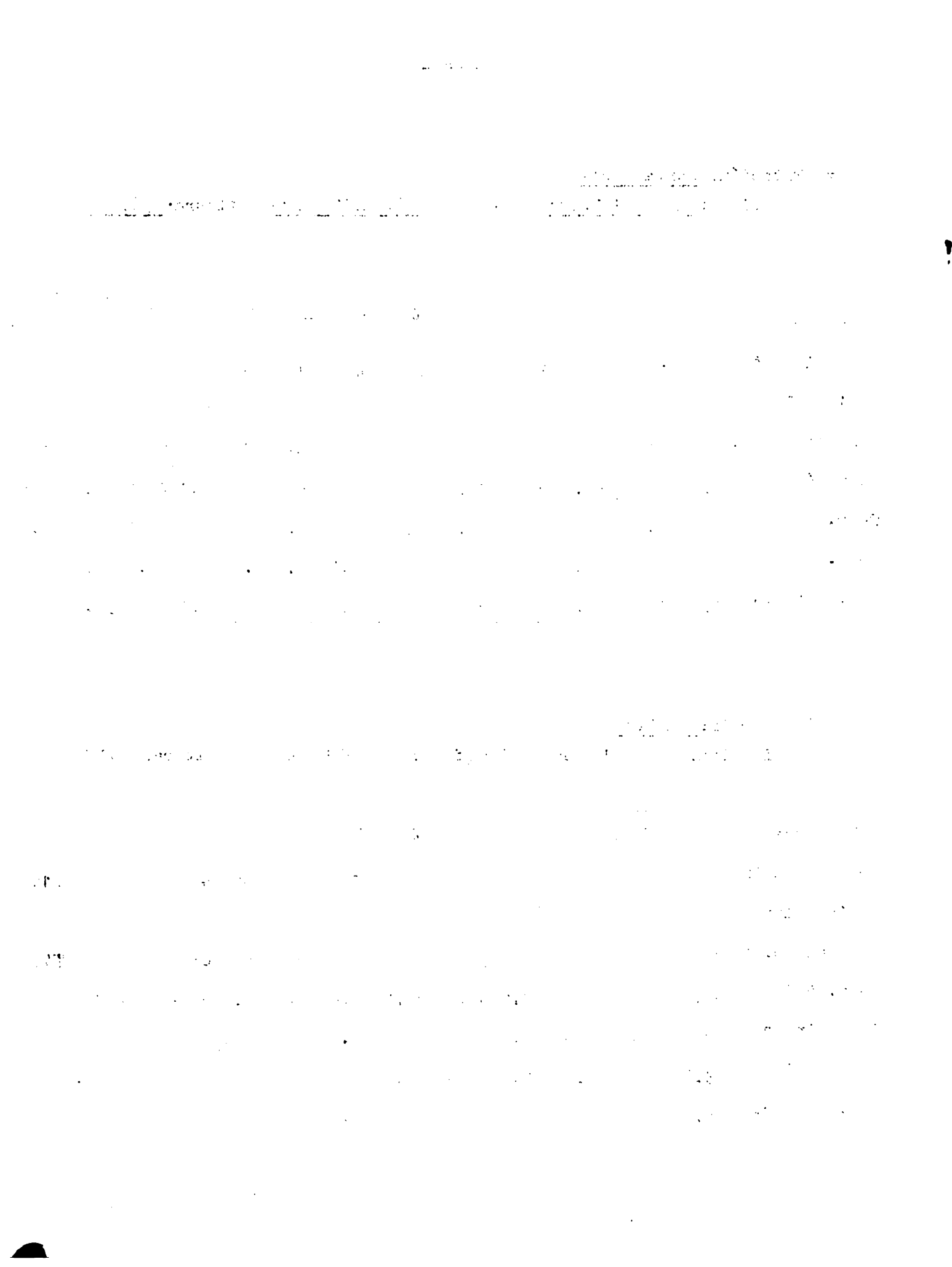
Latitud: 13° 41' Norte Longitud: 89° 17' Oeste Altura: 965 M

Factores	E	F	M	A	M	J	J	A	S	O	N	D	Anual
Precipitación	4	3	8	56	160	320	327	310	386	246	43	7	1870
Nºdías lluvia	1	1	1	6	14	22	23	22	22	16	5	1	
Humedad Relat.	71	72	71	76	82	86	82	82	87	83	76	74	78
Temp. Máxima	28.4	29.5	30.3	30.2	29.1	27.6	28.6	28.7	27.3	27.1	27.6	27.9	28.5
Temp. Mínima	13.9	13.9	14.9	16.4	17.2	17.3	17.0	17.1	17.2	17.0	15.7	14.6	16.0
Temp. Media	19.4	20.0	21.0	21.8	21.8	21.2	21.4	21.6	20.8	20.7	20.2	19.6	20.8
Per. Incubac.	31.6	30.8	29.4	28.3	28.5	29.5	29.0	28.8	29.8	30.1	30.8	31.4	

y) Estación: Izalco

Latitud: 13° 46' Norte Longitud: 89° 42' Oeste Altura: 390 M

Factores	E	F	M	A	M	J	J	A	S	O	N	D	Anual
Precipitación	1	3	13	65	238	317	320	319	434	348	53	7	2118
Nºdías lluvia													
Humedad Relat.	70	68	69	73	79	84	81	82	85	83	76	72	77
Temp. Máxima	32.8	32.9	33.3	33.0	32.5	30.7	31.6	31.9	31.0	31.2	32.2	32.8	32.2
Temp. Mínima	17.9	18.6	19.9	21.0	21.0	20.7	20.3	20.4	20.4	20.1	19.1	18.3	19.8
Temp. Media	23.4	23.7	24.8	25.4	25.0	24.3	24.6	24.5	24.0	24.0	24.0	23.6	24.3
Per. Incubac.	25.2	24.6	23.3	22.6	23.0	24.5	24.2	23.9	24.6	24.6	24.7	25.0	



z) Estación: Santiago de María

Latitud: 13° 29' Norte      Longitud: 88° 28' Oeste      Altura: 920MM

Factores	E	F	M	A	M	J	J	A	S	O	N	D	nual
Precipitación													
Nºdías lluvia													
Humedad Relat.	66	65	66	72	79	83	77	79	85	83	75	69	75
Temp. Máxima	28.7	30.2	31.1	31.0	29.8	28.1	28.8	29.1	28.2	27.8	27.6	28.1	29.0
Temp. Mínima	16.1	16.3	17.1	18.1	18.5	18.2	18.2	18.1	18.2	17.9	18.0	17.2	16.5
Temp. Media	21.3	21.8	22.7	23.1	22.7	21.9	22.6	22.5	21.6	21.5	21.4	21.2	22.0
Per. Incubac.	29.6	28.4	27.1	26.4	26.9	28.4	28.0	27.7	28.6	28.8	29.6	29.8	

FECHA DE DEVOLUCION


IICA  
H20  
28  
Autor

Título Método de muestreo para el  
reconocimiento de la Roya en El  
Salvador

Nombre del solicitante

Fecha  
Devolución

